

УДК 629.7.064

Группа Д15

ОТРАСЛЕВОЙ СТАНДАРТ

ОСТ 1 00228-77

МЕТОДИКА ОПРЕДЕЛЕНИЯ РЕЖИМОВ УСКОРЕННЫХ ЭКВИВАЛЕНТНЫХ ИСПЫТАНИЙ АГРЕГАТОВ УПРАВЛЕНИЯ ПОТОКОМ ЖИДКОСТИ В ГИДРОСИСТЕМАХ

На 46 страницах

Введен впервые

Распоряжением Министерства от 22 июня 1977 г.

№ 087-16

срок введения установлен с 1 января 1978 г.

Несоблюдение стандарта преследуется по закону

Настоящий стандарт распространяется на методику определения режимов ускоренных эквивалентных испытаний на ресурс агрегатов управления потоком жидкости (предохранительных, подпорных и редуционных клапанов, автоматов и гидромеханических реле давления; ограничителей и делителей потока, распределителей с гидромеханическим и электромагнитным управлением; дозаторов).

Издание официальное



Перепечатка воспрещена

№ изм.

№ изв.

Инв. № дубликата

Инв. № подлинника

3. МЕТОДИКА РАСЧЕТА РЕЖИМОВ УСКОРЕННЫХ ИСПЫТАНИЙ
АГРЕГАТОВ НА РЕСУРС

3.1. Объем и порядок расчета

3.1.1. Расчет режимов ускоренных эквивалентных испытаний проводится для элементов и узлов, изменение технического состояния которых определяет работоспособность агрегата при испытаниях.

3.1.2. Расчету режимов должен предшествовать анализ конструкции агрегата, режимов и условий испытаний с целью определения расчетных схем и параметров нагрузок. На основании режимов, заданных в ТУ (ТЗ), составляется табл. 1 режимов нормальных испытаний.

Таблица 1

Участок температурного цикла	Температура рабочей жидкости $t_{ж}^H, ^\circ C$	Температура окружающей среды, $t_{oc}^H, ^\circ C$	Число температурных циклов $\Gamma_{ТЦ}^H$	Число циклов срабатываний $N_{с}^H$	Число циклов повышения давления $N_{п}^H$	Время испытаний $\tau^H, ч$	Давление рабочей жидкости $P^H, кг/см^2$	Напряжение питания электромагнита $U^H, В$	Время выдержки под напряжением электромагнита $\tau_{ЭМ}^H, ч$
1	$t_{ж1}^H$	t_{oc1}^H	-	$N_{с1}^H$	$N_{п1}^H$	τ_1^H	P_1^H	U_1^H	$\tau_{ЭМ1}^H$
2	$t_{ж2}^H$	t_{oc2}^H	$\Gamma_{ТЦ}^H$	$N_{с2}^H$	$N_{п2}^H$	τ_2^H	P_2^H	U_2^H	$\tau_{ЭМ2}^H$
j	$t_{жj}^H$	t_{ocj}^H	-	$N_{сj}^H$	$N_{пj}^H$	τ_j^H	P_j^H	U_j^H	$\tau_{ЭМj}^H$

3.1.3. При расчете режимов рассматриваются основные процессы, вызывающие изменение технического состояния элементов и узлов агрегата:

- старение резиновых уплотнений и электроизоляции под действием повышенных температур;
- износ пар трения;
- накопление усталостных повреждений под действием циклических нагрузок.

3.1.4. Если длительность теплового воздействия существенно превышает время срабатываний агрегата, сокращение общей длительности испытаний производится за счет ужесточения тепловых режимов, при этом расчеты на износ и усталость не производятся.

3.2. Расчет режимов из условия эквивалентности старения резиновых уплотнений

3.2.1. Исходными данными при выборе и расчете режимов ускоренных испытаний для элементов, изменяющих свое состояние от воздействия температурных циклов являются:

№ изм.	
№ изв.	

Инв. № дубликата	
Инв. № подлинника	3269

- заданный в ТУ (ТЗ) температурный цикл нагружения;
- время воздействия температурного нагружения.

3.2.2. Исходя из максимально допустимой температуры рабочей жидкости, материала уплотнений и электроизоляции или обеспечения необходимого коэффициента ускорения испытаний, задается температурный режим ускоренных испытаний.

3.2.3. Температура работы резиновых уплотнений определяется так же как и температура других элементов агрегата, то есть

$$t_{py} = t_{эл} \quad (1)$$

где t_{py} - температура работы уплотнений агрегата, °С;

$t_{эл}$ - температура элементов агрегата, °С.

3.2.4. Температура резиновых неподвижных уплотнений при нормальных и ускоренных испытаниях определяется по формуле

$$t_{py} = t_{жс} + \Delta t_{др} + \Delta t_{эм} + \Delta t_{ос} \quad (2)$$

где $t_{жс}$ - температура рабочей жидкости на входе в агрегат, °С;

$\Delta t_{др}$ - температура нагрева элементов агрегата от дросселирования, °С;

$\Delta t_{эм}$ - температура нагрева элементов агрегата от электромагнита, °С;

$\Delta t_{ос}$ - температура нагрева элементов агрегата от воздействия окружающей среды, °С.

3.2.4.1. Температура нагрева неподвижных резиновых уплотнений от дросселирования жидкости, $\Delta t_{др}$ определяется по формуле

$$\Delta t_{др} = K_n \cdot \frac{\Delta P_{др}}{\rho_{жс} \cdot c_{жс} \cdot J} \quad (3)$$

где K_n - коэффициент, учитывающий перепад давления в процессе работы агрегата.

При постоянном перепаде $K_n = 1$;

$\Delta P_{др}$ - перепад давления на дросселирующей щели, кгс/см²;

$\rho_{жс}$ - плотность рабочей жидкости, кгс/м³;

$c_{жс}$ - удельная теплоемкость рабочей жидкости, ккал/(кг·°С);

J - механический эквивалент тепла, кгс·м/ккал.

Для рабочих жидкостей АМГ-10 и 7-50С-3 с достаточной для расчета точностью принимается (без учета теплоотдачи).

$$\Delta t_{др} = 0,055 K_n \Delta P_{др} \quad (4)$$

3.2.4.2. Температура нагрева элементов агрегата - от электромагнитов $\Delta t_{эм}$ при их длительном включении определяется экспериментально, путем записи температуры элементов в течение температурного цикла.

Для распределителей с электромагнитным управлением типа ГА и КЭ величины температуры нагрева элементов определяются по графику, приведенному на черт. 1.

№ изм.

№ изв.

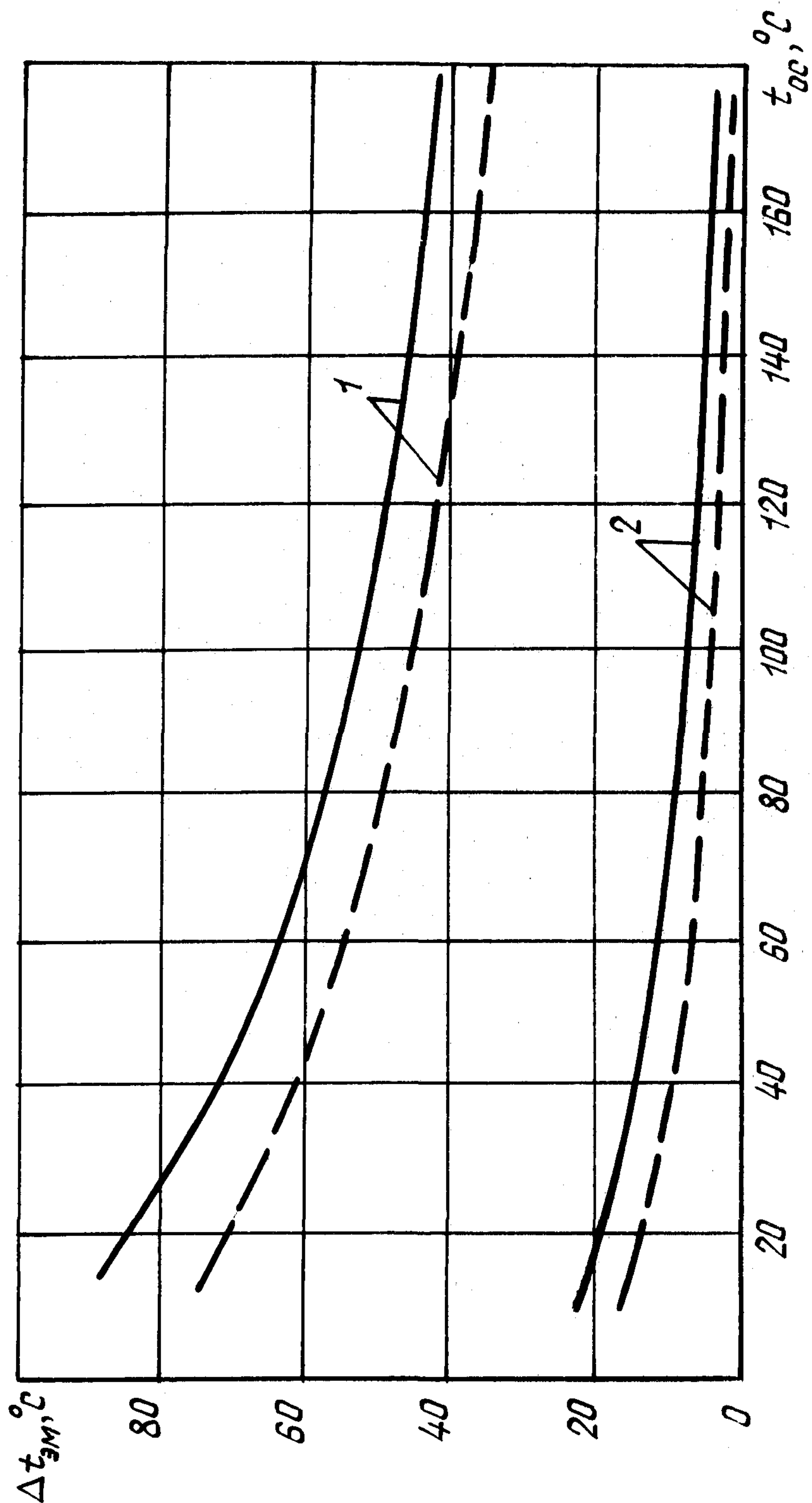
Инв. № дубликата

Инв. № подлинника

3269

Изм. № дубликата	
Изм. № подлинника	3269

№ изм.														
№ изв.														



— напряжение 30 В

- - - напряжение 24 В

1 - нагрев обмотки; 2 - нагрев корпуса агрегата

Черт. 1

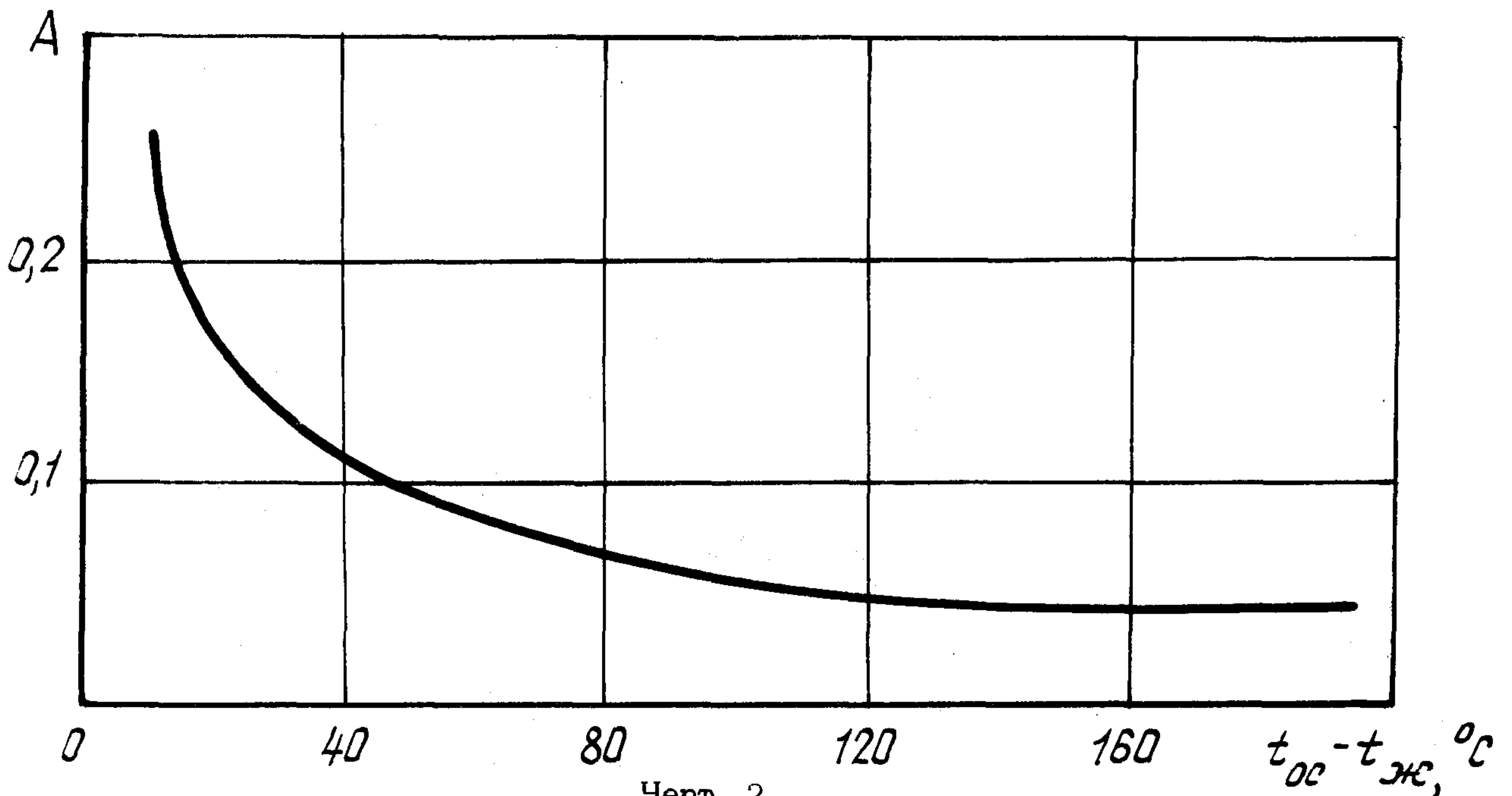
3.2.4.3. Температура нагрева элементов агрегата от воздействия окружающей среды Δt_{oc} определяется:

- при непрерывном протоке жидкости по формуле

$$\Delta t_{oc} = \frac{A}{1-A} (t_{oc} - t_{жс}), \quad (5)$$

где t_{oc} - температура окружающей среды, °С;

A - коэффициент температурной нагрузки; определяется по графику, приведенному на черт. 2.



- при кратковременном отсутствии протока жидкости Δt_{oc} определяется экспериментально, путем записи температуры элементов в течение температурного цикла;

- при отсутствии протока жидкости температура элементов агрегатов, не имеющих электромагнитов и агрегатов с обесточенными электромагнитами, равна температуре окружающей среды, т.е. $t_{py} = t_{oc}$, а для агрегатов с длительно включенным электромагнитом определяется по формуле

$$t_{py} = t_{oc} + \Delta t_{эм}.$$

3.2.5. Если заданный в ТУ (ТЗ) температурный цикл нагружения состоит из нескольких участков, то температура резиновых уплотнений определяется для каждого участка.

При непостоянном значении температуры на рассматриваемом участке расчет производится по среднему значению температуры t_{cp} , полученному с помощью метода графического интегрирования.

3.2.6. Время старения резиновых уплотнений при ускоренных испытаниях определяется по формуле

$$\tau_{py}^y = \tau_{py}^H \left(\frac{1}{\prod_{i=1}^{i=n} x_i} \right), \quad (6)$$

где τ_{py}^y - время старения уплотнений при ускоренных испытаниях, ч

№ изм.
№ изв.

3269

Изм. № дубликата
Изм. № подлинника

t_{py}^H - время старения уплотнений при нормальных испытаниях, ч;

i - номер десятиградусного интервала в диапазоне температур;

n - число десятиградусных интервалов;

\mathcal{K}_i - коэффициент, характеризующий скорость старения резины при повышении температуры на каждые 10°C в данном интервале температур.

3.2.6.1. Число десятиградусных интервалов n в диапазоне температур

$\Delta t_{py} = t_{py}^y - t_{py}^H$ определяется по формуле

$$n = \frac{t_{py}^y - t_{py}^H}{\Delta} \quad (7)$$

где $\Delta = 10^\circ\text{C}$

t_{py}^y - температура уплотнений при ускоренных испытаниях, $^\circ\text{C}$;

t_{py}^H - температура уплотнений при нормальных испытаниях, $^\circ\text{C}$.

Если величина Δt_{py} не является кратной 10, т.е. $\Delta t_{py} = 10n + \Delta\theta$, то соответствующий температурный коэффициент \mathcal{K}_i подставляется в формулу (6) со степенью $0,1 \cdot \Delta\theta$, т.е. $\mathcal{K}_i^{0,1 \cdot \Delta\theta}$.

3.2.6.2. Значения коэффициентов старения \mathcal{K}_i для десятиградусных интервалов в диапазоне температур от t_{py}^H до t_{py}^y приведены в табл. 2.

Таблица 2

Интервал температур рабочей жидкости, $^\circ\text{C}$	Значение коэффициента, характеризующего скорость старения резины (\mathcal{K}_i) для марок резины							
	В-14	В-14-1	ИРП-1078	ИРП-1054	ИРП-1353	ВР-7	ИРП-1287	ИРП-1316
От 50 до 60 вкл.	2,37	2,27	2,31	1,82	2,30	-	2,05	-
Св. 60 " 70 "	2,23	2,20	2,60	2,20	2,18	-	1,90	-
" 70 " 80 "	2,15	2,16	2,99	2,63	2,06	-	1,84	1,74
" 80 " 90 "	2,11	2,12	3,34	3,04	1,95	-	1,79	1,73
" 90 " 100 "	2,00	2,10	-	-	1,87	-	1,69	1,73
" 100 " 110 "	1,90	2,08	-	-	1,80	-	1,65	1,73
" 110 " 120 "	-	2,00	-	-	1,72	-	1,64	1,65
" 120 " 130 "	-	1,92	-	-	1,65	-	1,61	1,60
" 130 " 140 "	-	1,92	-	-	1,61	-	1,55	1,59
" 140 " 150 "	-	-	-	-	1,59	-	1,53	1,58
" 150 " 160 "	-	-	-	-	1,60	-	1,58	1,57
" 160 " 170 "	-	-	-	-	1,67	-	1,63	1,58
" 170 " 180 "	-	-	-	-	1,80	2,40	1,68	1,58
" 180 " 190 "	-	-	-	-	1,96	2,34	1,72	1,59
" 190 " 200 "	-	-	-	-	2,20	2,30	1,75	1,60
" 200 " 210 "	-	-	-	-	-	-	1,78	-
" 210 " 220 "	-	-	-	-	-	-	1,80	-

№ изм.
№ изв.

Изм. № дубликата
Изм. № подлинника
3269

3.2.7. Если заданный в ТУ (ТЗ) температурный цикл нагружения состоит из нескольких участков, то время эквивалентного старения определяется как сумма времени эквивалентного старения на участках по формуле

$$\tau_{py}^y = n_{т.ц} \sum_{j=1}^{j=n_{уч}} \frac{\tau_{pyj}^H}{\prod_{i=1}^i x_i} \quad (8)$$

где $n_{т.ц}$ - число температурных циклов;

$n_{уч}$ - число участков в температурном цикле;

j - номер участка температурного цикла.

3.2.8. Полученный в результате расчета режим испытаний должен удовлетворять следующим условиям:

$$\left. \begin{aligned} t_{жс}^y &\leq t_{жс.мах} \\ \tau_{жс}^y &\leq \tau_{жс.мах} \end{aligned} \right\} \quad (9)$$

$$\left. \begin{aligned} t_{py}^y &\leq t_{py.мах} \\ \tau_{py}^y &\leq \tau_{py.мах} \end{aligned} \right\} \quad (10)$$

где $t_{жс}^y$ - температура рабочей жидкости при ускоренных испытаниях, °С;

$t_{жс.мах}$ - максимальная температура рабочей жидкости, °С;

$\tau_{жс}^y$ - время испытаний рабочей жидкости при ускоренных испытаниях, ч;

$\tau_{жс.мах}$ - максимальное время испытаний рабочей жидкости при данной температуре, ч;

$t_{py.мах}$ - максимальная температура работоспособности материала уплотнений, °С;

$\tau_{py.мах}$ - максимальное время испытаний материала уплотнений при данной температуре, ч.

Если не выполняется хотя бы одно из условий (9 - 10), производится уменьшение температуры рабочей жидкости $t_{жс}^y$ до таких значений, при которых эти условия выполняются.

Если $\tau_{жс}^y > \tau_{жс.мах}$, то условие (9) может быть выполнено периодической заменой жидкости, при этом $\tau_{жс}^y \leq \tau_{жс.мах} S$, (S - необходимое число замен рабочей жидкости в течение времени испытаний).

3.2.9. В случае применения в изделии резиновых уплотнений из резин двух и более марок, обладающих различными скоростями процессов старения, расчет времени τ_{py}^y ведется для каждой марки резины. Время ускоренных испытаний τ_{py}^y из расчета принимается по уплотнению, оказывающему наибольшее влияние на работоспособность агрегата (с учетом дублирования и условий установки уплотнения).

№ изм.	№ изв.	Инв. № дубликата	Инв. № подлинника
		3269	

3.3. Расчет режимов из условия эквивалентности старения электроизоляционного материала

3.3.1. Расчет режимов по старению обмотки электромагнитов производится исходя из режимов, заданных в ТУ (ТЗ) и установленных при расчете по п. 3.2.

3.3.2. Температура обмотки электромагнита при нормальных и ускоренных испытаниях определяется:

- при включенном электромагните по формулам:

$$t_{об}^H = t_{кожс}^H + K_э \cdot \Delta t_{об}^H ; \quad (11)$$

$$t_{об}^Y = t_{кожс}^Y + K_э \cdot \Delta t_{об}^Y , \quad (12)$$

где $t_{об}^H$ - температура обмотки электромагнита при нормальных испытаниях, °C;

$t_{кожс}^H$ - температура кожуха электромагнита при нормальных испытаниях, °C;

$K_э$ - коэффициент, учитывающий длительность включения электромагнита, при длительном включении электромагнита $K_э = 1$;

$\Delta t_{об}^H$ - температура перегрева обмотки электромагнита при нормальных испытаниях, °C;

$t_{об}^Y$ - температура обмотки электромагнита при ускоренных испытаниях, °C;

$t_{кожс}^Y$ - температура кожуха электромагнита при ускоренных испытаниях, °C;

$\Delta t_{об}^Y$ - температура перегрева обмотки электромагнита при ускоренных испытаниях, °C;

- при отсутствии расхода через агрегат $t_{кожс} = t_{ос}$;

- при наличии протока $t_{кожс}$ определяется по формуле

$$t_{кожс} = t_{жс} + \Delta t_{др} + \Delta t_{эм} + \Delta t_{ос} .$$

Величина перегрева обмотки электромагнита при нормальных и ускоренных испытаниях $\Delta t_{об}^H$ и $\Delta t_{об}^Y$ находятся по графику (см. черт. 1) или экспериментально. При выключенном электромагните температура обмотки определяется по формуле

$$t_{обм} = t_{жс} + \Delta t_{др} + \Delta t_{эм} + \Delta t_{ос} .$$

Если заданный в ТУ (ТЗ) температурный цикл состоит из нескольких участков, то расчет температуры обмотки ведется для каждого участка.

При непостоянном значении температуры на рассматриваемом участке, расчет ведется по среднему значению температуры, полученному с помощью метода графического интегрирования.

3.3.3. Время старения изоляционного материала обмотки электромагнита определяется по формуле

$$\tau_{об}^Y = \tau_{об}^H e^{\frac{t_{об}^H - t_{об}^Y}{r}} , \quad (13)$$

№ изм.

№ изв.

3269

Ив. № дубликата

Ив. № подлинника

где $\tau_{об}^y$ - время старения изоляционного материала обмотки электромагнита при ускоренных испытаниях, ч;

$\tau_{об}^H$ - время старения изоляционного материала обмотки электромагнита при нормальных испытаниях, ч;

e - основание натурального логарифма;

γ - приведенный показатель термической стойкости изоляции.

Значение этого коэффициента приведено в табл. 3.

Таблица 3

Класс электроизоляционного материала	Температура окружающей среды, °С	Значение приведенного показателя термической стойкости γ , °С	
		номин.	пред. откл.
A	20 - 220	20,4	$\pm 1,7$
E	20 - 245	22,4	$\pm 1,6$
B	20 - 250	21,8	
F	20 - 265	18,4	$\pm 1,3$
H	20 - 270	15,6	$\pm 0,4$
C	20 - 335	20,2	$\pm 0,7$

3.3.4. Если заданный в ТУ (ТЗ) температурный цикл нагружения состоит из нескольких участков, то эквивалентное время старения определяется по формуле

$$\tau_{об}^y = \sum_{j=1}^{j=n_{уч}} \tau_{обj}^H e^{\frac{t_{обj}^H - t_{обj}^y}{\gamma}} \quad (14)$$

3.3.5. Если в результате расчетов по п. 3.2 и 3.3 $\tau_{об}^y \neq \tau_{py}^y$, то время достижения эквивалентного состояния электроизоляционными материалами приводится ко времени τ_{py}^y путем изменения напряжения питания электромагнитов, которое определяется по формуле

$$U^y = U^H \left(1 + \alpha_0 \gamma \ln \frac{\tau_{об}^y}{\tau_{py}^y} \right), \quad (15)$$

где U^y - напряжение питания электромагнита при ускоренных испытаниях, В;

U^H - напряжение питания электромагнита при нормальных испытаниях, В;

α_0 - температурный коэффициент электрического сопротивления обмоточного провода, $^{\circ}\text{C}^{-1}$.

№ изм.
№ изв.

3269

Инв. № дубликата
Инв. № подлинника

3.4. Расчет режимов из условия эквивалентности накопления усталостных повреждений.

3.4.1. Расчет режимов из условия эквивалентности накопления усталостных повреждений производится для элементов, имеющих наименьший запас усталостной прочности.

3.4.2. Исходными данными для выбора и расчета режимов являются заданные в ТУ (ТЗ) нагрузки на элементы, число циклов нагружения и справочные данные для материалов элементов.

3.4.3. Число циклов нагружений при ускоренных испытаниях определяется по формулам:

3.4.3.1. В случае растяжения, сжатия и изгиба

$$N^y = N^H K_f \left(\frac{K_t^y}{K_t^H} \frac{\sigma_{a экв}^H}{\sigma_{a экв}^y} \right)^m, \quad (16)$$

где N^y - число циклов нагружения при ускоренных испытаниях;

N^H - число циклов нагружения при нормальных испытаниях;

K_f - коэффициент, характеризующий зависимость скорости накопления усталостных повреждений от изменения частоты циклов нагружения ;

K_t^y - коэффициент, характеризующий изменение предела выносливости с изменением температуры при ускоренных испытаниях;

K_t^H - коэффициент, характеризующий изменение предела выносливости с изменением температуры при нормальных испытаниях;

$\sigma_{a экв}^H$ - эквивалентное нормальное напряжение при нормальных испытаниях, кгс/мм²;

$\sigma_{a экв}^y$ - эквивалентное нормальное напряжение при ускоренных испытаниях, кгс/мм²;

3.4.3.2. В случае кручения

$$N^y = N^H K_f \left(\frac{K_t^y}{K_t^H} \frac{\tau_{a экв}^H}{\tau_{a экв}^y} \right)^m, \quad (17)$$

где $\tau_{a экв}^H$ - эквивалентное касательное напряжение при нормальных испытаниях, кгс/мм²;

$\tau_{a экв}^y$ - эквивалентное касательное напряжение при ускоренных испытаниях, кгс/мм²;

m - показатель степени уравнения кривой усталости для материалов силовых элементов приведен в табл. 4.

№ изм.

№ изв.

3269

Изм. № дубликата

Изм. № подлинника

Таблица 4

Материал	Число циклов	Значение показателя степени m
Сталь	До 10^8	6
Алюминиевые сплавы	До 10^6	4
	Св. 10^6 до 10^7	6
	Св. 10^7 до 10^8	8

Коэффициент K_t для стали при нагреве до 200°C при расчетах принимается равным 1.

Для легких сплавов значение K_t приведено в табл. 5.

Таблица 5

Марка алюминиевого сплава	Значение коэффициента, характеризующего изменение предела выносливости (K_t) при температуре					
	-60°C	$+20^\circ\text{C}$	$+100^\circ\text{C}$	$+150^\circ\text{C}$	$+175^\circ\text{C}$	$+200^\circ\text{C}$
АЛ5	-	1	0,96	0,960	-	0,850
АК4-1	-	1	0,98	0,925	0,900	0,725
АК6	1,07	1	0,93	0,785	-	0,690
Д16Т	1,15	1	0,91	-	0,820	0,730
Д1-Т	-	1	0,86	0,805	-	0,650
МЛ10	1,25	1	1,00	1,000	1,000	0,860
В95	1,05	1	0,92	0,690	0,650	0,390
АМГ	1,35	1	1,00	0,940	0,875	0,750
АМЦ	-	1	0,82	0,730	0,640	0,590

Коэффициент K_f при расчетах принимается равным 1.

3.4.4. Общее число циклов нагружений $N_{общ}^y$ определяется по формуле

$$N_{общ}^y = n_{т,ц} \sum_{j=1}^{j=N_{уч}} N_{пj}^y + n_{т,ц} \sum_{j=1}^{j=N_{сj}} N_{сj}^y \quad (18)$$

где $N_{п}^y$ - число циклов повышения давления при ускоренных испытаниях;

$N_{с}^y$ - число циклов сбавывания при ускоренных испытаниях.

3.4.5. Величины эквивалентных напряжений в опасном сечении элемента определяются по формулам:

$$\sigma_{экв} = (K_\sigma)_D (\sigma_\alpha)_{пр} + \psi_\sigma \sigma_{ср} \quad (19)$$

$$\tau_{экв} = (K_\tau)_D (\tau_\alpha)_{пр} + \psi_\tau \tau_{ср} \quad (20)$$

№ изм.

№ изв.

3269

Инд. № дубликата

Инд. № подлинника

где $(K_{\sigma})_D$ и $(K_{\tau})_D$ - эффективные коэффициенты концентрации напряжения;

$(\sigma_a)_{пр}$ и $(\tau_a)_{пр}$ - приведенные амплитуды напряжения циклов, кгс/мм²;

ψ_{σ} и ψ_{τ} - коэффициенты, характеризующие чувствительность материала к асимметрии цикла; значения ψ_{σ} и ψ_{τ} из материалов стали приведены в табл. 6.

Таблица 6

Нормальное напряжение σ_B , кгс/мм ²	Значение коэффициентов ψ_{σ} и ψ_{τ} , характеризующих чувствительность материала к асимметрии цикла	
	Растяжение, сжатие, на изгиб, ψ_{σ}	Кручение, ψ_{τ}
От 32 до 50	0	0
Св. 50 " 75	0,05	-
" 75 " 105	0,10	0,05
" 105 " 125	0,20	0,10
" 125 " 145	0,25	0,10

Значения коэффициента ψ_{σ} , характеризующего чувствительность материала к асимметрии цикла для алюминиевых сплавов, приведены в табл. 7.

Таблица 7

Число циклов	ψ_{σ}
10^4	0,65
10^5	0,55
10^6	0,45
10^7	0,35

Эффективные коэффициенты концентрации напряжений определяются по формулам:

$$(K_{\sigma})_D = \frac{K_{\sigma}}{\epsilon_{\sigma} \beta}; \quad (21)$$

$$(K_{\tau})_D = \frac{K_{\tau}}{\epsilon_{\tau} \beta}, \quad (22)$$

где K_{σ} и K_{τ} - коэффициенты концентрации напряжения в сечении при изгибе, растяжении и кручении;

ϵ_{σ} и ϵ_{τ} - коэффициенты влияния абсолютных размеров;

β - коэффициент качества обработки поверхности.

№ изм.
№ изв.

3269

Инв. № дубликата
Инв. № подлинника

Коэффициенты K_{σ} , K_{τ} , ϵ_{σ} , ϵ_{τ} , β определяются по справочникам.

3.4.6. Приведенные амплитуды напряжений цикла определяются по формулам:

$$(\sigma_a)_{пр} = \sigma_a K_{долг.\sigma}; \quad (23)$$

$$(\tau_a)_{пр} = \tau_a K_{долг.\tau}, \quad (24)$$

где σ_a и τ_a - амплитуды нормальных и касательных напряжений от наибольшей длительно действующей нагрузки, кгс/мм²;

$K_{долг.\sigma}$ и $K_{долг.\tau}$ коэффициенты долговечности по нормальным и касательным напряжениям (используются как коэффициенты приведения режимов нагрузки).

3.4.7. Коэффициенты долговечности определяются по формулам:

$$K_{долг.\sigma} = \sqrt[m]{\frac{1}{N_0} \sum_{j=1}^{j=N_{уч}} \left(\frac{\sigma_{aj}}{\sigma_a} \right)^m N_j}; \quad (25)$$

$$K_{долг.\tau} = \sqrt[m]{\frac{1}{N_0} \sum_{j=1}^{j=N_{уч}} \left(\frac{\tau_{aj}}{\tau_a} \right)^m N_j}, \quad (26)$$

где N_0 - базовое число циклов;

N - число циклов нагружения.

3.4.8. Величина среднего напряжения цикла нагружения определяется по табл. 8.

Таблица 8

Тип цикла нагружения	Величина среднего напряжения	
	$\sigma_{ср}$	$\tau_{ср}$
Асимметричный	$\frac{\sigma_{max} + \sigma_{min}}{2}$	$\frac{\tau_{max} + \tau_{min}}{2}$
Симметричный	0	0
Пульсирующий	$\frac{\sigma_{max}}{2}$	$\frac{\tau_{max}}{2}$

3.4.9. Величина амплитуды нормальных и касательных напряжений от действующей нагрузки определяется по табл. 9.

№ изм.

№ изв.

Инв. № дубликата

Инв. № подлинника

3269

Таблица 9

Тип цикла нагружения	Величина амплитуды напряжений	
	σ_a	τ_a
Асимметричный	$\frac{\sigma_{max} - \sigma_{min}}{2}$	$\frac{\tau_{max} - \tau_{min}}{2}$
Симметричный	σ_{max}	τ_{max}
Пульсирующий	$\frac{\sigma_{max}}{2}$	$\frac{\tau_{max}}{2}$

3.4.10. Время, необходимое для отработки циклов повышения давления, определяется по формуле

$$\tau_n^y = n_{т.ц} \sum_{j=1}^{j=n_{yc}} N_{n_j}^y \cdot \tau_{n_j}^y, \quad (27)$$

где τ_n^y - время отработки циклов повышения давлений при ускоренных испытаниях, ч;

$N_{n_j}^y$ - число циклов повышения давлений при ускоренных испытаниях.

3.4.11. Время, необходимое для отработки циклов срабатывания, определяется по формуле

$$\tau_c^y = n_{т.ц} \sum_{j=1}^{j=n_{yc}} N_{c_j}^y \frac{1}{f^y}, \quad (28)$$

где τ_c^y - время отработки циклов срабатывания при ускоренных испытаниях, ч;

$N_{c_j}^y$ - число циклов срабатывания при ускоренных испытаниях;

f^y - частота срабатывания при ускоренных испытаниях, Гц.

Частота срабатывания f должна приниматься исходя из условия

$$f^y \leq \frac{1}{\tau_{доп}^y}, \quad (29)$$

где $\tau_{доп}^y$ - время, допускаемое для срабатывания, устанавливается в ТУ на агрегат, с.

3.4.12. Общее время ускоренных испытаний для отработки циклов нагружения определяется по формуле

$$\tau_{мех}^y = \tau_n^y + \tau_c^y, \quad (30)$$

где $\tau_{мех}^y$ - время испытаний для отработки циклов нагружения, ч.

3.4.13. Полученные режимы циклов нагружения ускоренных испытаний должны удовлетворять следующим условиям:

$$N^y \leq N_0 K_f \left(K_t \frac{\sigma_{-1}}{\sigma_{a экв}^y} \right)^m; \quad (31)$$

$$N^y \leq N_0 K_f \left(K_t \frac{\tau_{-1}}{\tau_{a экв}^y} \right)^m; \quad (32)$$

№ изм.

№ изв.

3269

Ив. № дубликата

Ив. № подлинника

$$n_n = \frac{\sigma_B}{n_B \sigma_{max}} > 1; \quad (33)$$

$$n_n = \frac{0,5\sigma_B}{n_B \cdot \tau_{max}} > 1, \quad (34)$$

где σ_{-1} и τ_{-1} - предел выносливости по нормальным и касательным напряжениям, кгс/мм²;

n_n - коэффициент запаса прочности;

σ_B - предел прочности, кгс/мм²;

n_B - коэффициент безопасности.

3.5. Расчет режимов из условия эквивалентности износа подвижных элементов агрегатов

3.5.1. Условием эквивалентности состояния подвижных элементов агрегатов является равенство величин накопленного износа при ускоренных и нормальных испытаниях.

3.5.2. Для элементов со скользящими поверхностями при $N_c^H \geq 50\,000$ циклов срабатываний ввиду незначительного износа, (что обеспечивается соответствующим подбором материалов деталей и обработкой поверхностей и подтверждается многочисленными испытаниями) число циклов срабатываний принимается равным числу циклов, полученному из расчета усталостной прочности силовых элементов согласно п. 3.4.

3.5.3. Для элементов со скользящими поверхностями (цилиндрические и плоские золотники), а также с ударным контактированием (шариковые датчики, клапаны и т.д.)

при $N_c^H \leq 50\,000$ число циклов срабатывания принимается

где N_c^H - число циклов срабатывания при нормальных испытаниях,

$$N_c^Y = N_c^H,$$

3.5.4. Для подвижных элементов с уплотнениями из резины и фторопласта

при $N_c^H > 20\,000$ число циклов срабатываний определяется по формуле

$$N_c^Y = N_c^H \left(\frac{t_{py}^H}{t_{py}^Y} \right)^{a_1}, \quad (35)$$

где a_1 - показатель степени кривой усталости уплотнений;

$a_1 = 0$ при $t_{py} \leq 65^\circ C$;

$a_1 = \frac{a(t_{py} - 65)}{35}$ при $65^\circ C < t_{py} < 100^\circ C$;

$a_1 = a$ при $t_{py} \geq 100^\circ C$,

где a - коэффициент усталости материала уплотнений, значения которого приведены в табл. 10.

№ изм.
№ изв.

3269

Инв. № дубликата
Инв. № подлинника

Таблица 10

Материал уплотнения	Рабочая среда	Коэффициент усталости a
Резина марок ИРП-1353	АМГ-10 7-50С-3	2,40
ИРП-1078	АМГ-10	
Резина марок ИРП-1316 ИРП-1287 ВР-7	7-50С-3 АМГ-10, 7-50С-3 7-50С-3	3,85
Резина марки ИРП-1375	воздух	
Фторопласт-4	АМГ-10, 7-50С-3	

4. АНАЛИЗ РЕЗУЛЬТАТОВ РАСЧЕТА И ОПРЕДЕЛЕНИЯ РЕЖИМОВ УСКОРЕННЫХ ИСПЫТАНИЙ

4.1. Режимы ускоренных испытаний, полученные в результате расчета по п. 3, подвергаются анализу по условию сохранения природы основных физических процессов, определяющих работоспособность агрегата с учетом максимально допустимых нагрузок.

4.2. Общее время ускоренных испытаний τ^y определяется исходя из полученных результатов в пп. 3.2.7 и 3.4.11 по формуле

$$\tau^y = \tau_{теп}^y + \tau_{мех}^y \quad (36)$$

где $\tau_{теп}^y$ - время ускоренных испытаний на тепловое воздействие.

4.3. Если время испытаний $\tau_{мех}^y$ составляет небольшую часть времени $\tau_{теп}^y$ (например, у распределителей с гидромеханическим и электромагнитным управлением), рекомендуется производить отработку циклов нагружений при максимальной частоте, удовлетворяющей условию (28), при сохранении температуры испытаний, напряжения питания электромагнита и других указанных в технических условиях параметров. В течение оставшегося времени $\tau_{теп}^y$ выдерживать агрегат в термостате при температуре, полученной при расчете (см. подраздел 3.2.4) с периодической прокачкой рабочей жидкости.

4.4. На основании проведенных расчета и анализа устанавливаются режимы нагружения при ускоренных испытаниях:

- температурный режим по пп. 3.2.4, 3.3.2;
- напряжение питания электромагнитов по п. 3.3.5;
- режимы и количество циклов нагружения по пп. 3.4 и 3.5.

№ изм

№ изв.

3269

Инв. № дубликата

Инв. № подлинника

4.5. Полученные результаты режимов ускоренных испытаний сводятся в табл. 11.

Таблица 11

Участок температурного цикла	Температура рабочей жидкости и окружающей среды, °С	Число температурных циклов $N_{T.Ц}$	Число циклов срабатываний N_C^y	Число циклов повышения давления $N_{П}^y$	Время испытаний τ^y , ч	Давление рабочей жидкости P , кгс/см ²	Напряжение питания электромагнита U^y , В	Время выдержки электромагнита под напряжением $\tau_{ЭМ}^y$, ч
1	$t_{ж1}^y = t_{oc1}^y$	-	N_{C1}^y	$N_{П1}^y$	τ_1^y	P_1^y	U_1^y	$\tau_{ЭМ1}^y$
2	$t_{ж2}^y = t_{oc2}^y$	$N_{T.Ц}^y$	N_{C2}^y	$N_{П2}^y$	τ_2^y	P_2^y	U_2^y	$\tau_{ЭМ2}^y$
j	$t_{жj}^y = t_{ocj}^y$	-	N_{Cj}^y	$N_{Пj}^y$	τ_j^y	P_j^y	U_j^y	$\tau_{ЭМj}^y$

4.6. На основании выбранных режимов разрабатывается программа ускоренных испытаний на ресурс. Программа ускоренных испытаний вводится в действующую техническую документацию по согласованию с представителем заказчика после подтверждения эквивалентности режимов нормальных и ускоренных испытаний по рекомендуемому приложению 1.

4.7. Примеры расчета режимов ускоренных эквивалентных испытаний электрогидравлического распределителя и регулятора расхода даны в справочном приложении 2.

№ изм.	
№ изв.	
Ив. № дубликата	
Ив. № подлинника	3269

РЕКОМЕНДАЦИИ ПО ЭКСПЕРИМЕНТАЛЬНОЙ ПРОВЕРКЕ
И ПОДТВЕРЖДЕНИЮ ЭКВИВАЛЕНТНОСТИ РЕЖИМОВ
НОРМАЛЬНЫХ И УСКОРЕННЫХ ИСПЫТАНИЙ

1. ЭКСПЕРИМЕНТАЛЬНАЯ ПРОВЕРКА И ПОДТВЕРЖДЕНИЕ
РЕЖИМОВ УСКОРЕННЫХ ИСПЫТАНИЙ

1.1. Режимы ускоренных испытаний, полученные расчетным путем согласно Методики, экспериментально проверяются и подтверждаются в процессе проведения ускоренных испытаний, при этом:

- проверяется работоспособность агрегата на режимах ускоренных испытаний;
- используются полученные результаты для установления эквивалентности ускоренных и нормальных испытаний.

1.2. Для экспериментального подтверждения режима ускоренных испытаний проводятся ускоренные испытания в последовательности, установленной для нормальных испытаний, на оборудовании, обеспечивающем воспроизведение расчетных жесточенных режимов по нагрузкам и температурам.

1.3. Отработка ресурса агрегата при ускоренных испытаниях проводится в соответствии с расчетными режимами (см. табл. 11 настоящего стандарта).

1.4. При проведении испытаний с целью проверки и подтверждения режимов ускоренных испытаний сохраняется объем контрольных проверок и испытаний на внешние воздействия в соответствии с ТУ (ТЗ).

При испытаниях с целью отработки программ и уточнения режимов ускоренных испытаний допускается, по согласованию с представителем заказчика, проводить только отработку ресурса и необходимые контрольные проверки агрегата.

1.5. Агрегаты с непрерывным потоком жидкости, режимы ускоренных испытаний которых предусматривают испытания при повышенных температурах окружающей среды, рекомендуется испытывать не в тепловой камере, а в теплоизолирующей кожухе. В этом случае агрегат обертывается двумя слоями теплоизолирующего материала.

1.6. Режимы ускоренных испытаний удовлетворяют условиям работоспособности агрегата, если:

- характеристики агрегата при контрольных проверках, проведенных в объеме и при условиях, указанных в ТУ (ТЗ), удовлетворяют требованиям ТУ (ТЗ);
- состояние деталей и узлов, а также результаты их микрообмера удовлетворяют требованиям технической документации.

№ изм.

№ изв.

Инв. № дубликата

Инв. № подлинника

3269

2. ОЦЕНКА ЭКВИВАЛЕНТНОСТИ РЕЖИМОВ ИСПЫТАНИЙ

2.1. Режимы ускоренных испытаний должны быть эквивалентными режимам нормальных испытаний по своему воздействию на техническое состояние агрегата.

2.2. Эквивалентность режимов испытаний может устанавливаться:

- методом расчета;
- методом сравнительных испытаний агрегата - прототипа;
- методом сравнения с результатами эксплуатации;
- методом сравнительных испытаний.

2.3. Для оценки эквивалентности режимов испытаний по техническому состоянию элементов и узлов агрегата производятся следующие работы:

- определение функциональных характеристик (параметров) и контрольные проверки в объеме и при условиях, установленных в ТУ (ТЗ);
- микрообмер поверхностей трения подвижных элементов (золотников, гильз, клапанов, седел и т.п.);
- обмер и определение характеристик пружин;
- микрообмер резиновых уплотнительных колец и мест их установки, расчет фактических натягов и величин растяжения резиновых колец по среднему диаметру;
- взвешивание резиновых и фторопластовых уплотнительных колец.

2.4. Оценка технического состояния комплектующих изделий по результатам ускоренных испытаний производится согласно ТУ (ТЗ).

2.5. При установлении эквивалентности ускоренных и нормальных испытаний по режимам испытаний рекомендуется проводить:

- сравнение и анализ величин изменения функциональных характеристик и контрольных параметров, установленных в ТУ (ТЗ) на агрегаты;
- расчет и сравнение величин и характера износа поверхностей подвижных элементов;
- сравнение величин изменения характеристик пружин;
- расчет величин относительной остаточной деформации резиновых колец и сравнение полученных величин;
- расчет и сравнение величин и характера износа, состояния поверхностей резиновых уплотнений.

2.6. Допускаемое отклонение сравниваемых величин друг от друга не должно превышать величины, определяемой вероятностными законами разброса параметров гидроагрегатов, обычно не более 10 . . . 20%; при больших отклонениях производится корректировка режимов ускоренных испытаний и ускоренные испытания повторяются.

№ изм.

№ изв.

Инв. № дубликата

Инв. № подлинника

3269

ПРИЛОЖЕНИЕ 2
Справочное

ПРИМЕРЫ РАСЧЕТА РЕЖИМОВ УСКОРЕННЫХ
ЭКВИВАЛЕНТНЫХ ИСПЫТАНИЙ

В настоящем приложении приводятся примеры расчета режимов ускоренных эквивалентных испытаний на гарантийный ресурс двухпозиционного электрогидравлического распределителя и регулятора расхода.

Пример 1. Электрэгидравлический распределитель

1. ИСХОДНЫЕ ДАННЫЕ ДЛЯ РАСЧЕТА

1.1. Условия отработки гарантийного ресурса приведены в табл. 1.

Таблица 1

Температура рабочей жидкости $t_{ж}, ^\circ\text{C}$	Температура окружающей среды $t_{oc}, ^\circ\text{C}$	Число температурных циклов $N_{TЦ}$	Число циклов срабатываний N_C	Число циклов повышения давления у проходников $N_{П}^*$		Время испытаний $t_{И}, \text{ч}$	Давление рабочей жидкости $P_{ж}, \text{кгс/см}^2$	Напряжение питания электромагнита $U^H, \text{В}$	Время выдержки $t_{В}, \text{ч}$
				"Насос"	"Бак"				
+20	+20	-	1000	1000	1000	не огов.			-
60-130	60-170	500	9000	9000	9000	2000	10	27	1000
130	170								
130-100	170-100								
100	100								
100-60	100-60								

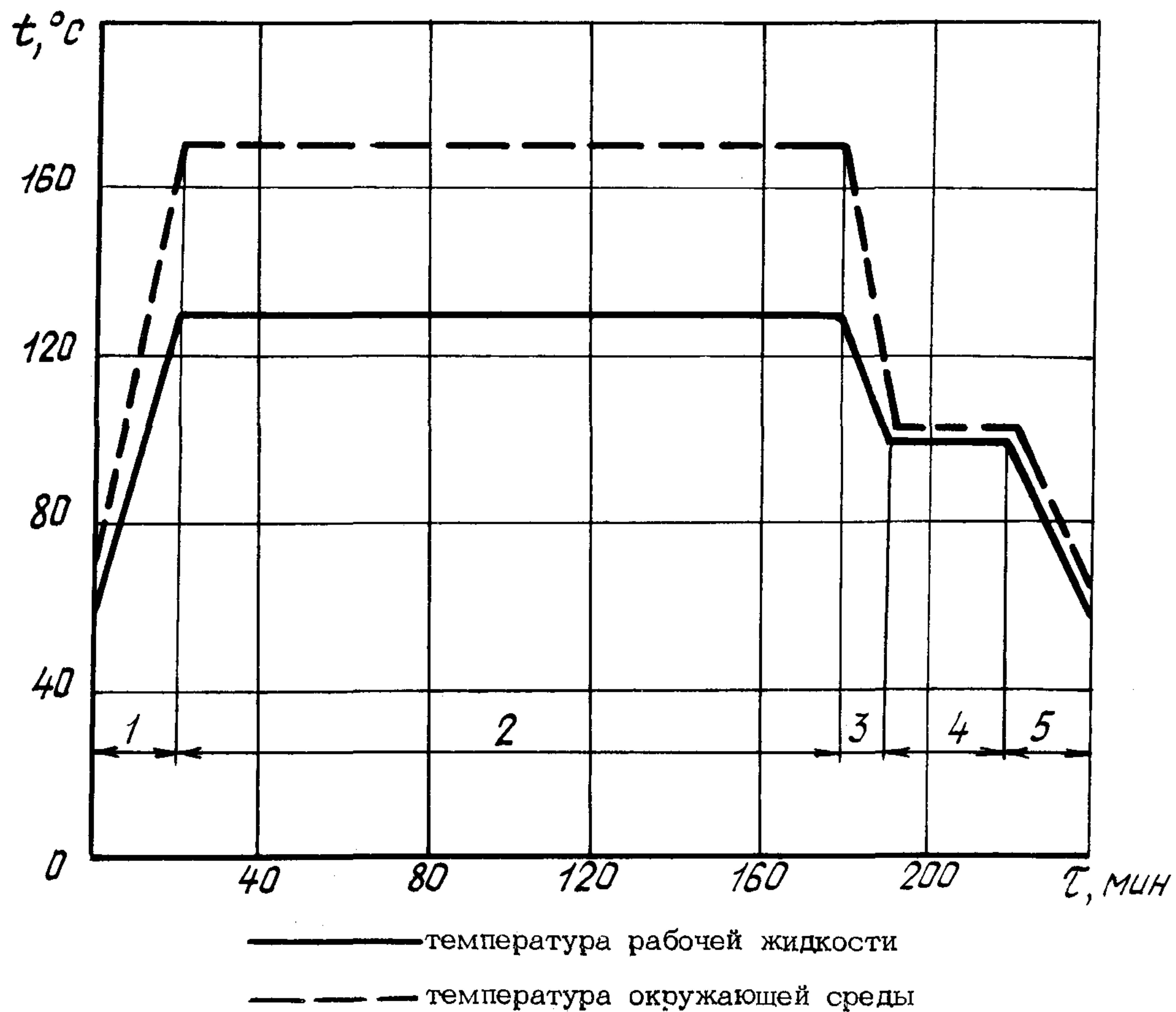
* Повышения давления агрегата производятся:

- у проходника "Насос" с 220 до 300 кгс/см² при времени действия не более 0,1 с;
 - у проходника "Бак" с 20 до 100 кгс/см² при времени действия не более 5 с.
- При этом срабатывания агрегатом не производятся.

№ изм.	
№ изв.	

Инв. № дубликата	
Инв. № подлинника	3269

График температурного цикла приведен на черт. 1.



Черт. 1

1.2. Рабочая жидкость - 7-50С-3.

1.3. Окружающая среда - воздух.

1.4. Давление у проходника "Бак" - не более 20 кгс/см^2 .

1.5. Проток рабочей жидкости через агрегат - в течение всего времени работы.

1.6. Расход рабочей жидкости - до 60 л/мин.

1.7. Гидравлическое сопротивление агрегата при температуре рабочей жидкости $25 \pm 10^\circ\text{C}$ и расходе 60 л/мин - не более 10 кгс/см^2 .

1.8. Режим работы электромагнита - длительный. 50% гарантийного ресурса электромагнит находится под напряжением.

1.9. Время срабатывания при минимальном давлении у проходника "Насос" при положительных температурах - не более 0,15 с.

№ изм.
№ изв.

3269

Инв. № дубликата
Инв. № подлинника

2. АНАЛИЗ ВОЗДЕЙСТВИЯ РЕЖИМОВ ИСПЫТАНИЙ НА ЭЛЕМЕНТЫ

2.1. Элементами, изменяющими свое состояние в результате воздействия заданного количества температурных циклов, являются резиновые уплотнения (черт. 2, поз. 2 и 3) и электроизоляция обмотки электромагнита и выводных концов (черт. 2, поз. 9). Для этих элементов преобладающим является процесс старения материала.

Материалы резиновых уплотнений - ИРП-1287 и ИРП-1353.

Материал обмоточного провода электромагнита - ПНЭТ-имид, класс "С".

2.2. Элементами, изменяющими свое состояние в результате воздействия заданного количества срабатываний, являются (см. черт. 2):

- шариковый датчик - поз. 8 (клапан-седло), плоский золотник с опорными втулками - поз. 5, поршни - поз. 4 и подвижные резиновые уплотнения. Для этих элементов преобладающим является процесс изнашивания контактирующих поверхностей;

- корпус - поз. 10, пробки - поз. 1, проходники - поз. 7, пружины - поз. 11, для которых преобладающим является процесс накопления усталостных повреждений.

Накопление усталостных повреждений в корпусе, пробках и проходниках происходит также в результате повышения давления в полостях агрегата.

3. РАСЧЕТ РЕЖИМОВ ИЗ УСЛОВИЯ ЭКВИВАЛЕНТНОСТИ
СТАРЕНИЯ РЕЗИНОВЫХ УПЛОТНЕНИЙ

3.1. Определение температуры неподвижных резиновых уплотнений при нормальных испытаниях.

3.1.1. Эквивалентная температура окружающей среды и рабочей жидкости определяется по температурному циклу (см. черт. 1). На участках 1, 3 и 5 температура определяется графическим интегрированием. Так как температуры на этих участках изменяются линейно, то эквивалентное (расчетное) значение температуры $t_{рас}^H$ будет равно ее среднему значению на участке. Результаты расчета приведены в табл. 2.

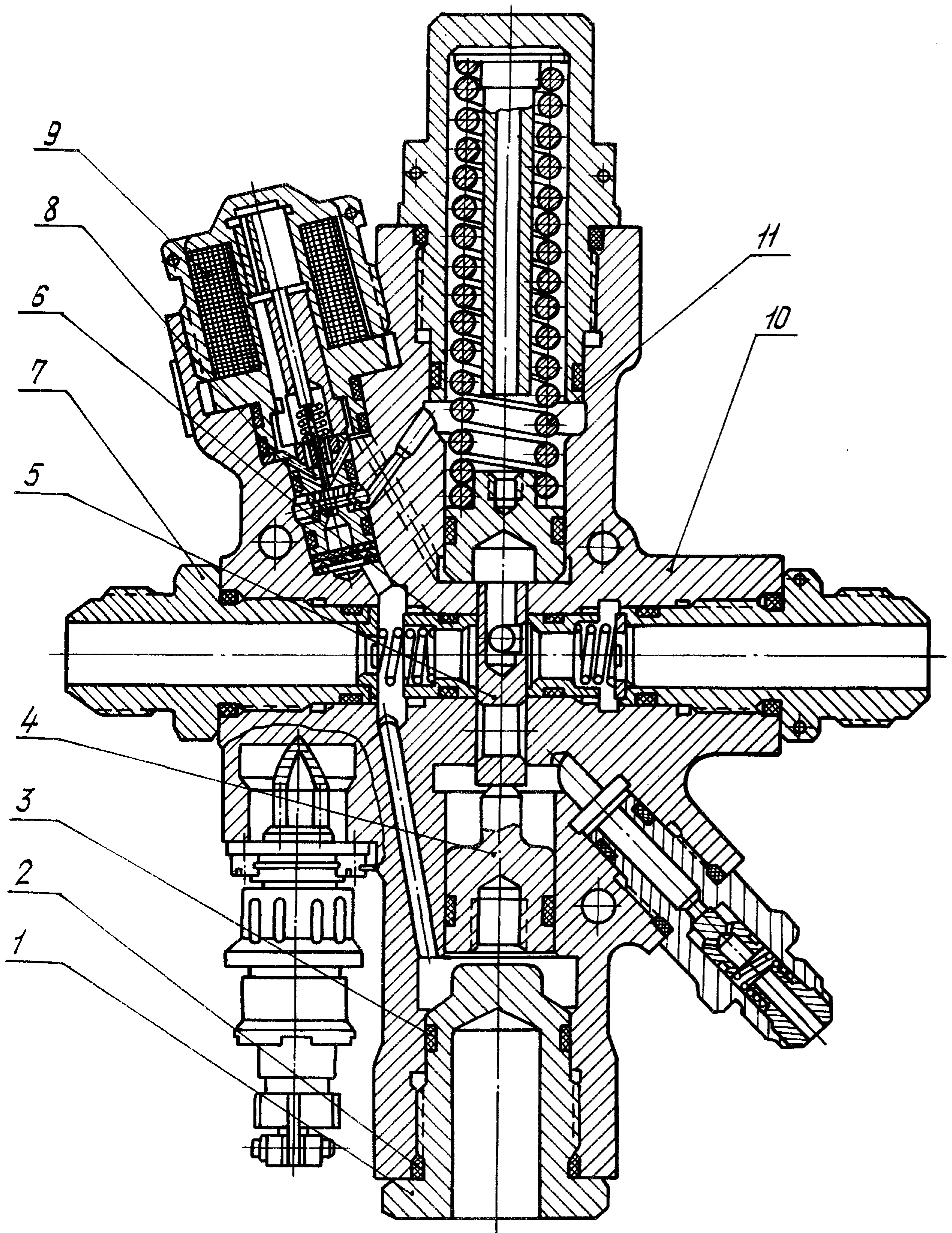
Таблица 2

Участок	Температура, °С							Коэффициент температурной нагрузки А
	$t_{ос}^H$	$t_{жс}^H$	$t_{ос.расч}^H$	$t_{жс.расч}^H$	$\Delta t_{эм}^H$	$t_{ос}^H - t_{жс}^H$	$\Delta t_{ос}^H$	
1	60-170	60-130	115	95	6	20	3	0,15
2	170	130	170	130	4	40	4	0,10
3	170-100	130-100	135	115	5	20	3	0,15
4	100	100	100	100	7	0	0	-
5	100-60	100-60	80	80	8	0	0	-

№ изм.
№ изв.

3269

Инв. № дубликата
Инв. № подлинника



- 1 - пробка; 2 - уплотнительное кольцо; 3 - уплотнительное кольцо; 4 - поршень;
 5 - плоский золотник; 6 - опорные втулки; 7 - проходник; 8 - шариковый датчик;
 9 - обмотка электромагнита; 10 - корпус; 11 - пружина

Черт. 2

№ изм.

№ изв.

3269

Инв. № дубликата

Инв. № подлинника

3.1.2. Температурой нагрева уплотнений от дросселирования $\Delta t_{др}$ пренебрегаем ввиду небольшого сопротивления внутренних каналов агрегата.

3.1.3. Температуру нагрева уплотнений при длительном включении электромагнита $\Delta t_{ЭМ}^H$ определяем по графику (черт. 1 настоящего стандарта). Результаты приведены в табл. 2.

3.1.4. Температуру нагрева уплотнений от воздействия окружающей среды Δt_{OC}^H определяем по формуле 5 настоящего стандарта с применением зависимостей графика (черт. 2 настоящего стандарта). Результаты приведены в табл. 2.

3.1.5. Температуру неподвижных резиновых уплотнений определяем по формуле 2 настоящего стандарта. Результаты расчета приведены в табл. 3.

Таблица 3

Участок	Температура, °C						
	$t_{жс}^H$	при включенном электромагните			при выключенном электромагните		
		$\Delta t_{ЭМ}^H$	Δt_{OC}^H	t_{py}^H	$\Delta t_{ЭМ}^H$	Δt_{OC}^H	t_{py}^H
1	95	6	3	104	0	3	98
2	130	4	4	138	0	4	134
3	115	5	3	123	0	3	118
4	100	7	0	107	0	0	100
5	80	8	0	88	0	0	80

3.2. Определение температуры неподвижных резиновых уплотнений при ускоренных испытаниях

3.2.1. На основе рекомендаций пп. 3.2.2 и 3.2.8 настоящего стандарта принимаем

$$t_{жс}^y = t_{oc}^y = 170^{\circ}C = const.$$

3.2.2. Температуры нагрева уплотнений от дросселирования, от электромагнита и от воздействия окружающей среды рассчитываем так же, как указано в пп. 3.1.2 - 3.1.4. и получаем:

$$\Delta t_{др} = 0;$$

$$\Delta t_{ЭМ} = 4^{\circ}C \text{ при } U = 27 \text{ В};$$

$$\Delta t_{oc} = 0.$$

3.2.3. Температуру уплотнений определяем по формуле (2) настоящего стандарта, при этом температура t_{py}^y будет равна:

- при включенном электромагните $t_{py_1}^y = 170 + 4 = 174^{\circ}C$;

- при выключенном электромагните $t_{py_2}^y = 170^{\circ}C$.

№ изм. № изв. 3269 Инв. № дубликата Инв. № подлинника

3.3. Расчет времени эквивалентного старения неподвижных резиновых уплотнений.

3.3.1. Расчет времени τ_{py}^y проводится по формулам (6) и (8) настоящего стандарта. Значения коэффициентов X_i находятся в табл. 2 настоящего стандарта.

3.3.2. Результаты расчета времени эквивалентного старения уплотнений из резины ИРП-1287 и порядок расчета для одного температурного цикла приведены в табл. 4.

Общее время эквивалентного старения уплотнений из резины ИРП-1287 в течение гарантийного ресурса составляет:

$$\tau_{py}^y = \sum_{i=1}^n \tau_{py_i}^y = \tau_{py_1}^y + \tau_{py_2}^y = 140,5 + 122 = 262,5 \text{ ч.}$$

3.3.3. Время эквивалентного старения уплотнений из резины ИРП-1353 подсчитываем аналогично п. 3.3.2.

Общее время эквивалентного старения уплотнений из резины ИРП-1353 в течение гарантийного ресурса составляет:

$$\tau_{py}^y = 123,5 + 127,5 = 251 \text{ ч.}$$

3.3.4. В связи с тем, что время эквивалентного старения из резины ИРП-1287 превышает время эквивалентного старения уплотнений из резины ИРП-1353, то, согласно п. 3.2.9 настоящего стандарта, принимаем время испытаний на тепловое воздействие: $\tau_{py}^y = 263 \text{ ч.}$

№ изм.

№ изв.

3269

Инв. № дубликата

Инв. № подлинника

Изм. № дубликата	
Изм. № подлинника	3269

№ изм.											
№ изв.											

Таблица 4

Учас-ток	Время, $t_{ру}^H$, МИН	Температура, °С			$\prod_{i=1}^{i=n} \alpha_i$ - произведение коэффициентов, характеризующих старение резины	Время, $t_{ру}^H$, МИН
		$t_{ру}^H$	$t_{ру}^У$	$\Delta t_{ру}^У$		
1	20	104		70	$1,65^{0,6} \cdot 1,64 \cdot 1,61 \cdot 1,55 \cdot 1,53 \cdot 1,58 \cdot 1,63 \cdot 1,68^{0,4} = 26,78$	0,747
2	160	138		36	$1,55^{0,2} \cdot 1,53 \cdot 1,58 \cdot 1,63 \cdot 1,68^{0,4} = 5,28$	30,300
3	10	123	174	51	$1,61^{0,7} \cdot 1,55 \cdot 1,53 \cdot 1,58 \cdot 1,63 \cdot 1,68^{0,4} = 9,55$	1,047
4	30	107		67	$1,65^{0,3} \cdot 1,64 \cdot 1,61 \cdot 1,55 \cdot 1,53 \cdot 1,58 \cdot 1,63 \cdot 1,68^{0,4} = 23,03$	1,303
5	20	88		86	$1,79^{0,2} \cdot 1,69 \cdot 1,65 \cdot 1,64 \cdot 1,61 \cdot 1,55 \cdot 1,53 \cdot 1,58 \cdot 1,63 \cdot 1,68^{0,4} = 63,16$	0,317
$\Sigma t_{ру}^H$	240					33,714
1	20	98		72	$1,69^{0,2} \cdot 1,65 \cdot 1,64 \cdot 1,61 \cdot 1,55 \cdot 1,53 \cdot 1,58 \cdot 1,63 = 29,51$	0,678
2	160	134		36	$1,55^{0,6} \cdot 1,53 \cdot 1,58 \cdot 1,63 = 6,104$	26,212
3	10	118	170	52	$1,64^{0,2} \cdot 1,61 \cdot 1,55 \cdot 1,53 \cdot 1,58 \cdot 1,63 = 10,86$	0,921
4	30	100		70	$1,65 \cdot 1,64 \cdot 1,61 \cdot 1,55 \cdot 1,53 \cdot 1,58 \cdot 1,63 = 26,61$	1,274
5	20	80		90	$1,79 \cdot 1,69 \cdot 1,65 \cdot 1,64 \cdot 1,61 \cdot 1,55 \cdot 1,53 \cdot 1,58 \cdot 1,63 = 80,98$	0,247
$\Sigma t_{ру}^H$	240					29,332

4. РАСЧЕТ РЕЖИМОВ ИЗ УСЛОВИЯ ЭКВИВАЛЕНТНОСТИ
СТАРЕНИЯ ОБМОТКИ ЭЛЕКТРОМАГНИТА

4.1. Расчет температуры обмотки электромагнита при нормальных испытаниях.

4.1.1. Расчет температуры обмотки производится по формуле (11) настоящего стандарта. Значения перегревов $\Delta t_{об}$ определяем по графику черт. 1 настоящего стандарта, исходя из того, что $t_{кожс} = t_{ос}$.

У агрегата с непрерывным протоком рабочей жидкости температура кожуха электромагнита будет близка к температуре корпуса. Это обеспечивается наличием теплового моста. Поэтому принимаем $t_{кожс} = t_{эл} \approx t_{ру}$.

Так как режим работы электромагнита длительный, принимаем $K_3 = 1$.

Результаты расчета $t_{об}$ приведены в табл. 5.

Таблица 5

Участок	Температура, °С			
	при включенном электромагните			при выключенном электромагните
	$t_{кожс}$	$\Delta t_{об}$	$t_{об}$	$t_{об}$
1	104	52	156	98
2	138	46	184	134
3	123	49	172	118
4	107	51	158	100
5	88	55	143	80
Ускоренные испытания	174	43	217	170

4.2. Расчет температуры обмотки электромагнита при ускоренных испытаниях.

4.2.1. Расчет температуры обмотки при ускоренных испытаниях ведется аналогично п. 4.1.1.

Результаты расчета приведены в табл. 5.

4.3. Расчет времени эквивалентного старения обмотки электромагнита.

4.3.1. Расчет времени эквивалентного старения обмотки электромагнита $T_{об}^у$ производится по формуле (14) настоящего стандарта.

Значение коэффициента γ определяется по табл. 3 настоящего стандарта $\gamma = 20,9^{\circ}\text{C}$.

№ изм.
№ изв.

3269

Изм. № дубликата
Изм. № подлинника

4.3.2. Порядок расчета и полученные результаты для одного температурного цикла нагружения с включенным и выключенным электромагнитом приведены в табл. 6.

Таблица 6

Участок	Время, $\tau_{обj}^H$, мин	Температура, °C				Основание натурального логарифма e^z	Время, $\tau_{обj}^Y$, мин	
		$t_{обj}^H$	$t_{обj}^Y$	$t_{обj}^H - t_{обj}^Y$	$Z = \frac{t_{обj}^H - t_{обj}^Y}{\gamma}$			
Электромагнит включен	1	20	156	217	-61	-2,919	0,054	1,08
	2	160	184		-33	-1,579	0,206	32,96
	3	10	172		-45	-2,153	0,116	1,16
	4	30	158		-59	-2,823	0,060	1,80
	5	20	143		-74	-3,541	0,029	0,58
	$\Sigma \tau_{об1}$	240	-		-	-	-	-
Электромагнит выключен	1	20	98	170	-72	-3,445	0,032	0,64
	2	160	134		-36	-1,722	0,179	28,64
	3	10	118		-52	-2,488	0,083	0,83
	4	30	100		-70	-3,349	0,035	1,05
	5	20	80		-90	-4,306	0,013	0,26
	$\Sigma \tau_{об2}$	240	-		-	-	-	-

Время эквивалентного старения обмотки за один температурный цикл составляет:

- при включенном электромагните $\tau_{об1}^Y = 37,58$ мин;

- при выключенном электромагните $\tau_{об2}^Y = 31,42$ мин.

Эквивалентное время старения обмотки в течение гарантийного ресурса составляет: $\tau_{об}^Y = n_{тц} \tau_{об1}^Y + n_{тц} \tau_{об2}^Y = 189,9 + 130,9 = 321$ ч.

4.3.4. Так как $\tau_{ру}^Y < \tau_{об1}^Y$, то рассчитываем необходимое напряжение питания электромагнита, при котором будет достигнуто эквивалентное старение электроизоляционного материала обмотки в течение времени $\tau_{ру}^Y$.

Используя формулу (15) настоящего стандарта и учитывая, что в п. 3.2.2 получено время испытания агрегата с включенным электромагнитом $\tau_{ру1}^Y = 140,5$ ч находим U^Y .

$$U^Y = 27(1 + 0,004 \cdot 20,9 \cdot \ln \cdot 190/140,5) = 27,8 \text{ В.}$$

№ изм.
№ изв.

Ив. № дубликата
Ив. № подлинника
3269

5. ОПРЕДЕЛЕНИЕ РЕЖИМОВ ЦИКЛОВ НАГРУЖЕНИЯ УСКОРЕННЫХ ИСПЫТАНИЙ

5.1. Рассматриваемый электрогидравлический распределитель имеет шариковый датчик. Учитывая рекомендации п. 3.5.3. настоящего стандарта принимаем

$$N_c^y = N_c^H.$$

5.2. Определим допустимую частоту срабатывания по формуле (29) настоящего стандарта с учетом п. 1.9. Цикл срабатывания распределителя - включение и выключение электромагнита. Тогда $\tau_{доп} = 0,3 \text{ с}; f^y = \frac{1}{0,3} \approx 3 \text{ Гц}$.

5.3. Время, необходимое для отработки циклов срабатывания, определяем по формулам (28) настоящего стандарта

- при нормальной температуре:

$$\tau_{c_1}^y = \frac{N_{c_1}^y}{f^y} = \frac{1000}{3} = 333,3 \text{ с} \approx 0,1 \text{ ч};$$

- при температурных циклах:

$$\tau_{c_2}^y = \frac{N_{c_2}^y}{f^y} = \frac{9000}{3} = 3000 \text{ с} = 0,835 \text{ ч}.$$

5.4. Время, необходимое для отработки повышения давления, определяем по формуле (27) настоящего стандарта у проходника "Насос":

- при нормальной температуре

$$\tau_{n_1}^y = 1000 \cdot 0,1 = 100 \text{ с} \approx 0,03 \text{ ч};$$

- при температурных циклах

$$\tau_{n_2}^y = 9000 \cdot 0,1 = 900 \text{ с} \approx 0,25 \text{ ч};$$

у проходника "Бак":

- при нормальной температуре:

$$\tau_{n_3}^y = 1000 \cdot 5 = 5000 \text{ с} = 1,39 \text{ ч};$$

- при температурных циклах:

$$\tau_{n_4}^y = 9000 \cdot 5 = 12,5 \text{ ч}.$$

Так как отработку повышения давления у проходников "Насос" и "Бак" можно производить одновременно, принимаем большее значение полученного времени.

5.5. Расчеты показали, что время испытаний на механическое воздействие составляет небольшую часть времени испытаний на тепловое воздействие. Поэтому в соответствии с рекомендациями настоящего стандарта предусматриваем отработку испытаний на механическое воздействие при частоте $f^y = 3 \text{ Гц}$ и сохранении остальных требований технических условий.

№ изм.

№ изв.

3269

Инв. № дубликата

Инв. № подлинника

6. УСТАНОВЛЕНИЕ РЕЖИМОВ УСКОРЕННЫХ ИСПЫТАНИЙ

6.1. Общее время ускоренных испытаний определяем по формуле (36) настоящего стандарта

$$\tau_{\text{общ}}^y = \tau_{\text{теп}}^y + \tau_{\text{мех}}^y = \tau_{p_y}^y + \tau_{c_1}^y + \tau_{c_2}^y + \tau_{n_3}^y + \tau_{n_4}^y =$$

$$= 263 + 0,1 + 0,84 + 1,39 + 12,5 = 278 \text{ ч.}$$

6.2. Режимы ускоренных испытаний приведены в табл. 7.

Таблица 7

Температура окружающей среды и рабочей жидкости, °С $t_{\text{ж}}^y = t_{\text{ос}}^y$	Число циклов срабатываний N_c^y	Число циклов повышения давлений N_n^y у проходников		Время испытаний τ^y , ч	Давление рабочей жидкости, p^y , кгс/см ²	Напряжение питания электромагнита U , В	Время выдержки электромагнита под напряжением $\tau_{\text{эм}}^y$, ч
		"Насос"	"Бак"				
+20	1000	1000	1000	Не оговорено	210	27,0	-
+170	9000	9000	9000	278		27,8	141*

* Выдержка в термостате.

6.3. Коэффициент ускорения испытаний определяется по формуле

$$K_y = \frac{\tau^H}{\tau_{\text{общ}}^y} = \frac{2000 \text{ ч}}{278 \text{ ч}} = 7,2.$$

Пример № 2. Регулятор расхода

1. ИСХОДНЫЕ ДАННЫЕ ДЛЯ РАСЧЕТА

1.1. Гарантийный срок службы - 100 000 изменений давления на входе в агрегат в течение 3000 летних ч.

Циклы нагружения по давлению (см. черт. 1 и 2).

Условия отработки приведены в табл. 1.

№ изм.
№ изв.

Инв. № дубликата
Инв. № подлинника

3269

Таблица 1

Температура, °С		Число температурных циклов $n_{T.C}$	Число циклов нагружения по давлению N_j^H	Время испытаний $\tau^H, ч$
рабочей жидкости $t_{жс}^H$	окружающей среды t_{oc}^H			
20	20	-	17 500	-
60-125	60-140	1000	-	3000
125	140		7500	
125-90	140-70		-	
90	70		22 500	
90-60	70-60	-	-	-
-60	-60	-	2500	-

1.2. Рабочая жидкость - АМГ-10 ГОСТ 6794-75.

1.3. Окружающая среда - воздух.

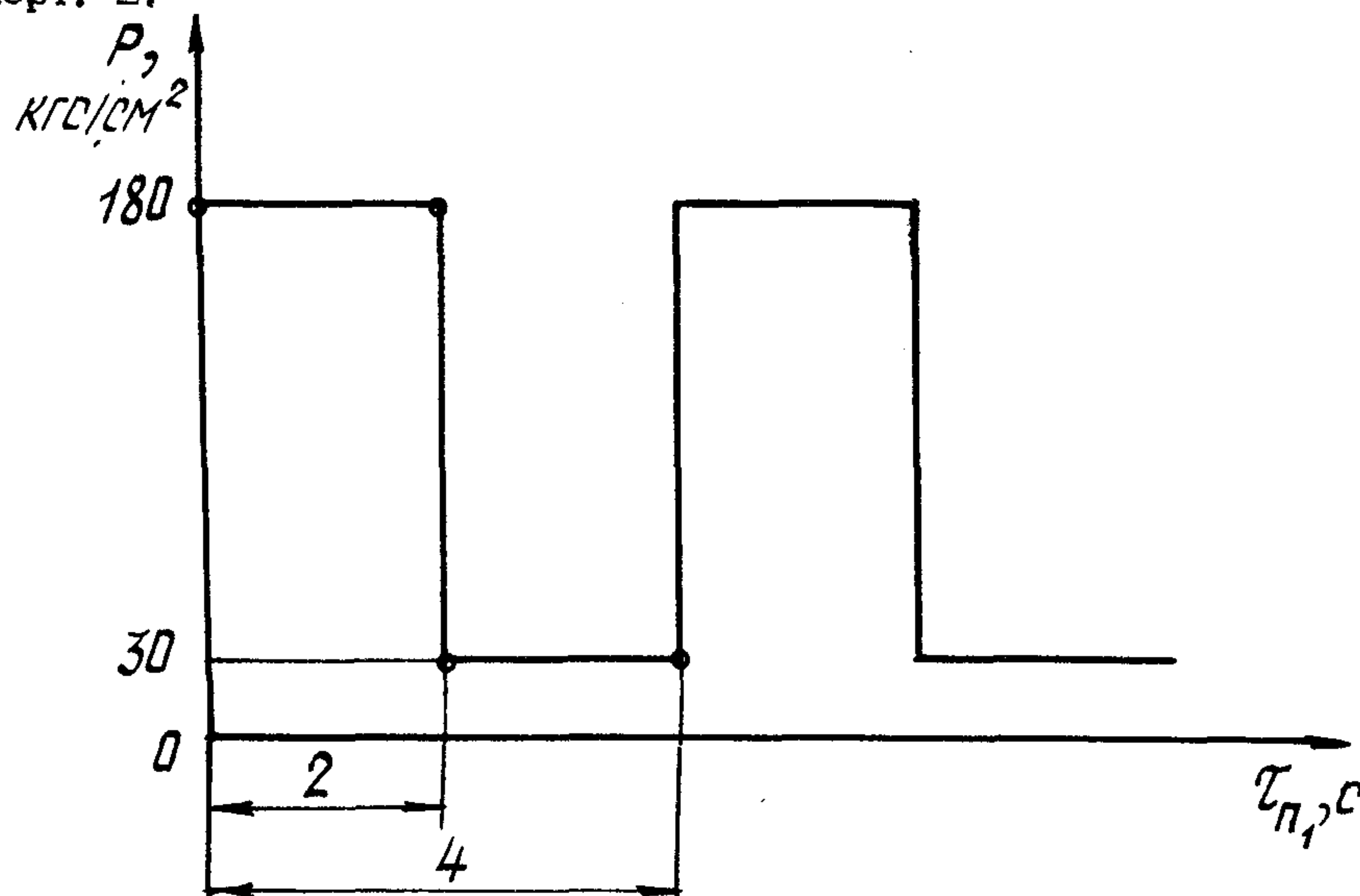
1.4. Рабочее давление номинальное - 210 кгс/см^2 .

1.5. Расход жидкости, поддерживаемый регулятором расхода при положительных температурах и перепаде давления на регуляторе расхода не менее 10 кгс/см^2 , минус 14_{-2}^{+1} л/мин.

1.6. Материалами деталей регулятора расхода, изменяющими свое состояние и определяющими работоспособность агрегата, являются:

- корпус - алюминиевый сплав марки АК6;
- колпак - алюминиевый сплав марки АК6;
- пружины - проволока углеродистая по ГОСТ 9389-75, кл. ПА;
- резиновые уплотнительные кольца - резина ИРП-1353.

1.7. Циклы нагружения по давлению при нормальных испытаниях приведены на черт. 1 и черт. 2.

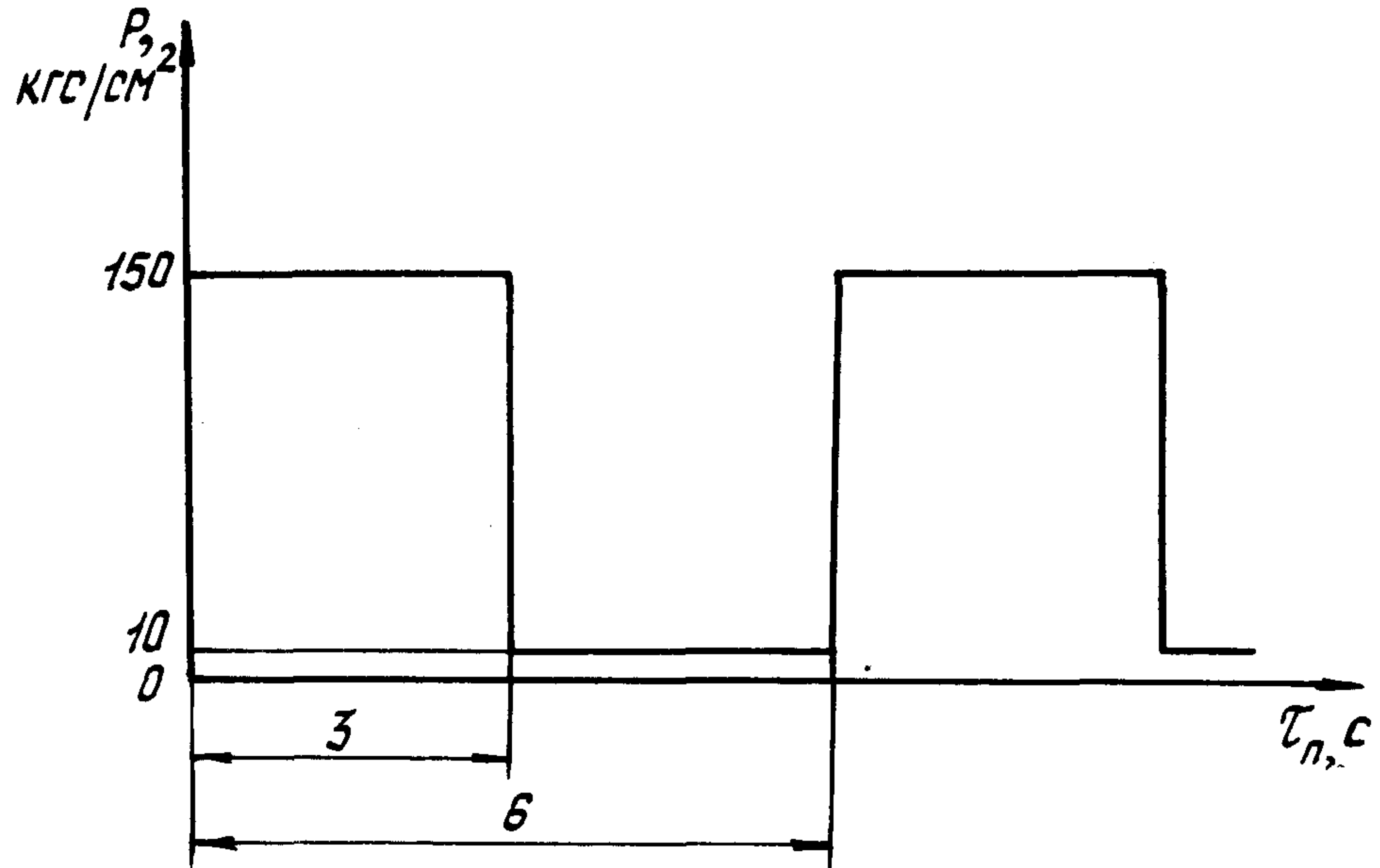


Черт. 1

№ изм.
№ изв.

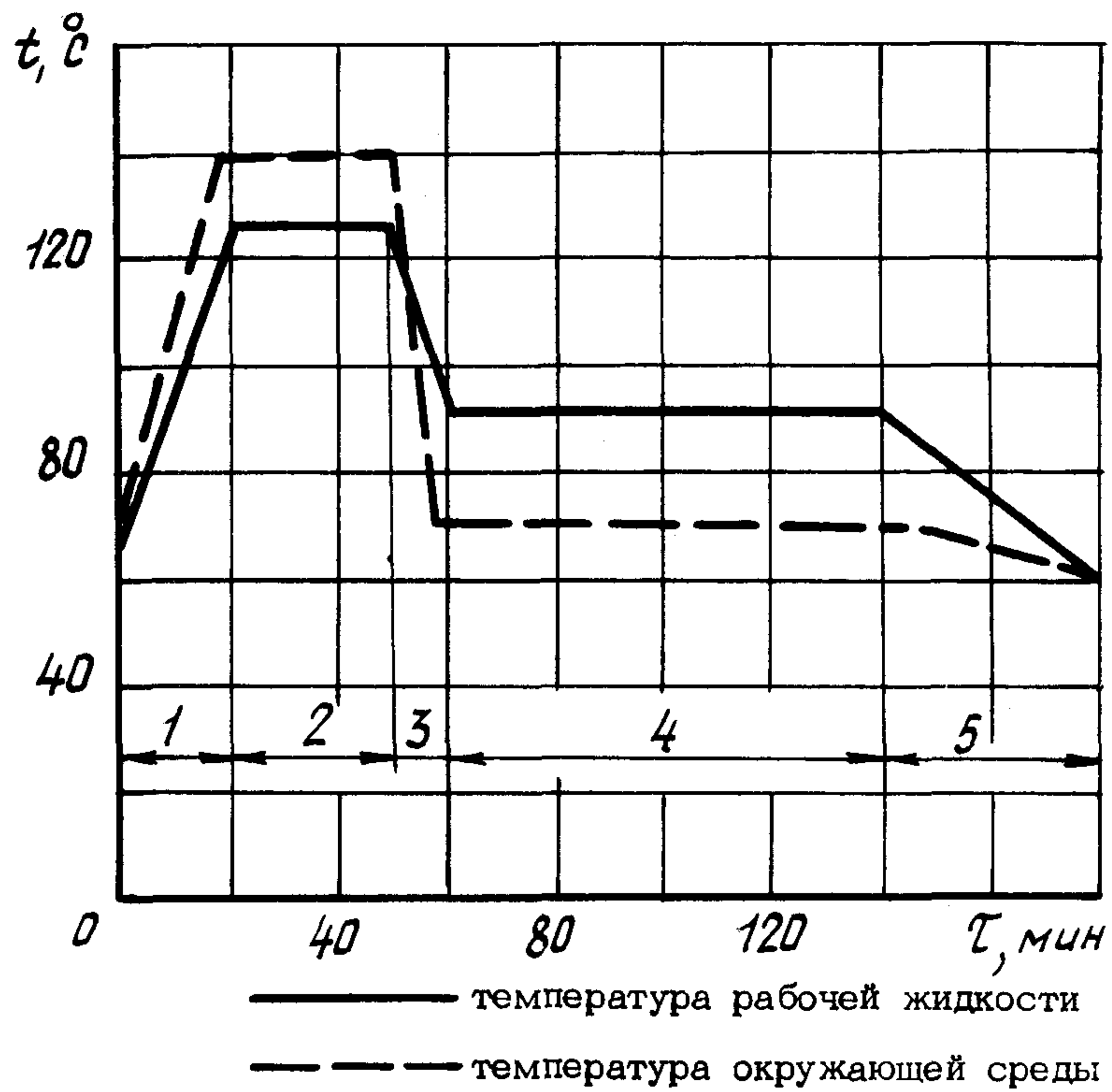
Инв. № дубликата
Инв. № подлинника

3269



Черт. 2

1.8. График температурного цикла приведен на черт. 3.



Черт. 3

2. АНАЛИЗ ВОЗДЕЙСТВИЯ РЕЖИМОВ ИСПЫТАНИЙ НА ЭЛЕМЕНТЫ

2.1. Элементами, изменяющими свое состояние в результате воздействия заданного числа температурных циклов, являются резиновые уплотнительные кольца черт. 4, поз. 4. Для этих элементов преобладающим является процесс старения материала.

№ изм.

№ изв.

3269

Инв. № дубликата

Инв. № подлинника

2.2. Элементами, изменяющими свое состояние в результате воздействия заданного числа циклов срабатываний, являются (см. черт. 4):

- золотник - поз. 5, гильзы - поз. 6 и 7, поршень - поз. 8. Для этих элементов преобладающим является процесс износа трущихся поверхностей;
- колпак - поз. 1, пружина - поз. 2, корпус - поз. 3. Для этих элементов преобладающим является процесс накопления усталостных повреждений.

3. РАСЧЕТ РЕЖИМОВ ИЗ УСЛОВИЯ ЭКВИВАЛЕНТНОСТИ СТАРЕНИЯ РЕЗИНОВЫХ УПЛОТНЕНИЙ

3.1. Определение температуры неподвижных резиновых уплотнений при нормальных испытаниях.

3.1.1. Эквивалентную температуру окружающей среды и рабочей жидкости определяем по температурному циклу (черт. 3). На участках 1, 3 и 5 температуру определяем графическим интегрированием. Так как температура на этих участках изменяется линейно, то эквивалентное (расчетное) значение температуры $t_{рас}^H$ будет равно ее среднему значению на участке.

3.1.2. Температуру нагрева элементов агрегата при дросселировании рабочей жидкости определяем по формуле (4) настоящего стандарта. Расчет $\Delta t_{др}^H$ производится для режима $\Delta p = 150 \text{ кгс/см}^2$, так как в течение температурного цикла агрегат работает при $p = 180 \text{ кгс/см}^2$. Результаты расчета приведены в табл. 2.

Таблица 2

Участок	Температура, °C								Коэффициент температурной нагрузки А
	$t_{ос}^H$	$t_{жс}^H$	$t_{ос.расч}^H$	$t_{жс.расч}^H$	$\Delta t_{др}^H$	$t_{ос.расч}^H - t_{жс.расч}^H$	$\Delta t_{ос}^H$	$t_{ру.расч}^H$	
1	60-140	60-125	100	92,5	9,9	-2,4	-0,8	102	0,25
2	140	125	140	125,0	9,9	5,1	1,7	137	0,25
3	140-70	125-90	105	107,5	9,9	-12,4	-2,9	115	0,19
4	70	90	70	90,0	9,9	-29,9	-4,3	96	0,125
5	70-60	90-60	65	75,0	9,9	-19,9	-3,8	81	0,16

3.1.3. Температуру нагрева элементов от воздействия окружающей среды $\Delta t_{ос}^H$ определяем по формуле (5) настоящего стандарта с применением зависимостей графика (черт. 2) настоящего стандарта. Результаты приведены в табл. 2.

№ изм.
№ изв.

3269

Изм. № дубликата
Изм. № подлинника

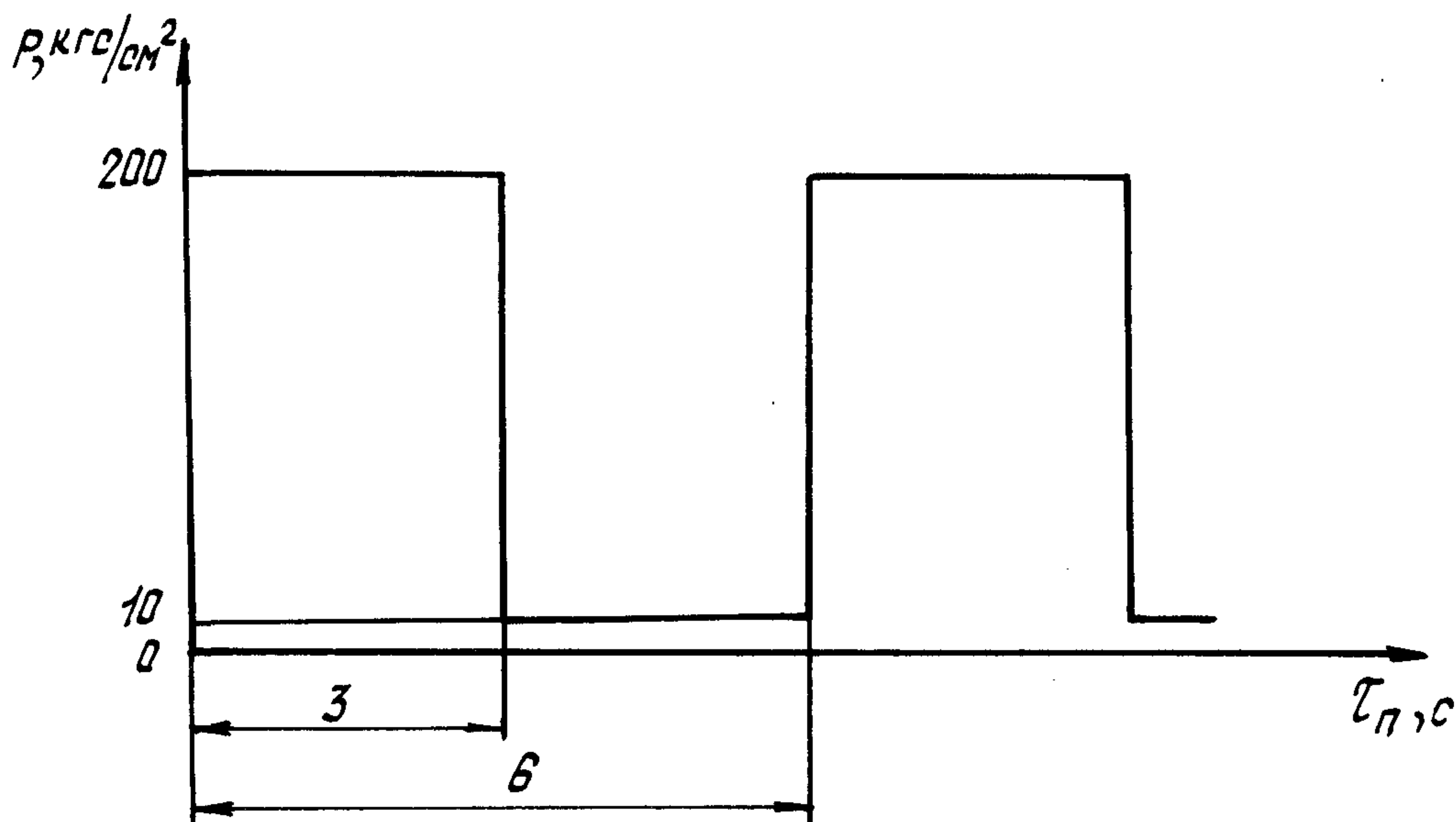
3.1.4. Температуру неподвижных резиновых уплотнений определяем по формуле (2) настоящего стандарта. Результаты приведены в табл. 2.

3.2. Определение температуры неподвижных резиновых уплотнений при ускоренных испытаниях.

3.2.1. На основании рекомендаций настоящего стандарта пп. 3.2.2. и 3.2.8 принимаем

$$t_{жс}^y = t_{ос}^y = + 140 \text{ } ^\circ\text{C}.$$

3.2.2. На основании анализа работы агрегата принимаем цикл нагружения ускоренных испытаний по давлению в соответствии с черт. 5.



Черт. 5

3.2.3. Температура нагрева элементов агрегата от дросселирования рабочей жидкости в режиме нагружения согласно черт. 5 рассчитывается по формуле (4) настоящего стандарта и принимается среднее значение за цикл:

- для режима $\Delta P_{др} = 200 \text{ кгс/см}^2$

$$\Delta t_{др} = 0,055 \cdot 200 = 11 \text{ } ^\circ\text{C};$$

- для режима $\Delta P_{др} = 10 \text{ кгс/см}^2$

$$\Delta t_{др} = 0,055 \cdot 10 = 0,55 \text{ } ^\circ\text{C};$$

- среднее значение нагрева за цикл при $K_{п} = 0,5$ составляет

$$\Delta t_{др}^y = (11 + 0,55) \cdot 0,5 \approx 6 \text{ } ^\circ\text{C}.$$

3.2.4. Температура нагрева элементов агрегата от воздействия окружающей среды $\Delta t_{ос}^y = 0$, так как $t_{ос}^y = t_{жс}^y$.

№ изм.
№ изв.

3269

Инв. № дубликата
Инв. № подлинника

3.2.5. Температура резиновых уплотнений и элементов агрегата при ускоренных испытаниях будет равна:

- при отработке циклов нагружения в термокамере

$$t_{py}^y = t_{эл}^y = 140 + 6 = 146^{\circ}\text{C};$$

- при выдержке в термостате

$$t_{py}^y = t_{эл}^y = 140^{\circ}\text{C}.$$

3.3. Расчет времени эквивалентного старения неподвижных резиновых уплотнений.

3.3.1. Расчет времени τ_{py}^y проводится по формуле (8) настоящего стандарта.

Значения коэффициентов \mathcal{K}_i находятся в табл. 2 настоящего стандарта.

Результаты расчета τ_{py}^y для одного температурного цикла при $t_{py}^y = 146^{\circ}\text{C}$ приведены в табл. 3.

3.3.2. Общее время эквивалентного старения резиновых уплотнений за 1000 температурных циклов составит:

$$\tau_{py\text{общ}}^y = n_{тц} \tau_{py}^y = 1000 \cdot 0,5144 = 514,4 \text{ ч.}$$

№ изм.

№ изв.

3269

Изм. № дубликата

Изм. № подлинника

4. РАСЧЕТ РЕЖИМОВ ЦИКЛОВ НАГРУЖЕНИЯ УСКОРЕННЫХ ИСПЫТАНИЙ

4.1. По данным расчета на прочность в режимах, указанных в ТУ, определены элементы агрегата, имеющие наименьший запас усталостной прочности (см. черт. 4):

- колпак - поз. 1, сечение I - I;
- корпус - поз. 3, сечение II - II;
- пружина - поз. 2.

4.2. Расчет эквивалентного числа циклов нагружения колпака.

4.2.1. Исходные данные для расчета - материал колпака - алюминиевый сплав АК6.

По справочным материалам находим:

$$\sigma_B = 39 \text{ кгс/мм}^2; \quad \sigma_{-1} = 14,5 \text{ кгс/мм}^2; \quad N_a = 2 \cdot 10^7;$$

- при расчете на прочность в сечении I - I получена зависимость

$$\sigma = 9P \cdot 10^{-2};$$

- по справочным данным коэффициенты для расчета имеют следующие значения:

$$K_\sigma = 1,45; \quad E_\sigma = 0,92; \quad \beta = 0,9; \quad \psi_\sigma = 0,55.$$

4.2.2. Определение эквивалентного числа циклов нагружения производим согласно п. 3.4. настоящего стандарта:

- амплитуды напряжений σ_a от наибольшей длительно действующей нагрузки определяются по табл. 9 настоящего стандарта.

$$\sigma_a = \frac{\sigma_{\max} - \sigma_{\min}}{2};$$

- коэффициент долговечности $K_{\text{долг.}\sigma}$ (в данном расчете использован как коэффициент приведения к амплитуде напряжений от наибольшей длительно действующей нагрузки) определяется по формуле (25) настоящего стандарта

$$K_{\text{долг.}\sigma} = \sqrt[m]{\frac{1}{N_0} \sum_{j=1}^n \left(\frac{\sigma_{aj}}{\sigma_a} \right)^m N_j};$$

- приведенные амплитуды цикла $(\sigma_a)_{\text{пр}}$ определяются по формуле (23) настоящего стандарта

$$(\sigma_a)_{\text{пр}} = \sigma \cdot K_{\text{долг.}\sigma};$$

- средние напряжения цикла $\sigma_{\text{ср}}$ определяются по формуле табл. (8) настоящего стандарта

$$\sigma_{\text{ср}} = \frac{\sigma_{\max} + \sigma_{\min}}{2};$$

№ изм.

№ изв.

3269

Изм. № дубликата

Изм. № подлинника

- эквивалентные напряжения $\sigma_{a_{экв}}^H$ и $\sigma_{a_{экв}}^Y$ определяются по формуле (19) настоящего стандарта

$$\sigma_{a_{экв}} = (K_{\sigma})_D \cdot (\sigma_a)_{пр} + \psi_{\sigma} \cdot \sigma_{ср}$$

где $(K_{\sigma})_D = \frac{K_{\sigma}}{\epsilon_{\sigma} \cdot \beta} = \frac{1,45}{0,92 \cdot 0,9} = 1,75;$

- значения коэффициентов K_{t_j} для расчета нормальных и ускоренных испытаний находятся в табл. (5) настоящего стандарта. Для температур, не указанных в табл. (5) настоящего стандарта, значения K_{t_j} определяются методом линейной интерполяции.

Например, для $t_{эл}^Y = 146^{\circ}C$:

$$K_t = 0,785 + \frac{(0,93 - 0,785) \cdot (150 - 146)}{150 - 100} = 0,798;$$

- эквивалентное число циклов нагружения $N_{п_j}^Y$ определяется по формуле

$$N_{п_j}^Y = \sum_{j=1}^{j=п.ц} N_{п_j}^H \left(\frac{K_t^Y}{K_t^H} \cdot \frac{\sigma_{a_{экв}}^H}{\sigma_{a_{экв}}^Y} \right)^m$$

Результаты расчета нормальных напряжений в зависимости от циклов нагружения, давления рабочей жидкости приведены в табл. 4.

Таблица 4

Режимы	Время выдержки под давлением $\tau, мин$	Давление рабочей жидкости $P, кгс/см^2$	Напряжение, кгс/мм ²						$K_{делг.б}$
			σ_{max}	σ_{min}	σ_a	$\sigma_{ср}$	$(\sigma_a)_{пр}$	$\sigma_{a_{экв}}$	
Нормальный	0,03	180	16,20	-	6,75	9,45	1,75	8,26	0,26
	0,03	30	-	2,70					
	0,05	150	13,50	-	6,30	7,20			
	0,05	10	-	0,90					
Ускоренный	-	200	18,00	-	8,85	9,45	2,23	9,10	0,23
		10	-	0,90					

Результаты расчета коэффициента, характеризующего изменение предела выносливости K_t и эквивалентное число циклов нагружения в зависимости от температуры, приведены в табл. 5.

№ изм.
№ изв.

3269

Ив. № дубликата
Ив. № подлинника

Таблица 5

Температура, °C		K_{tj}^H	K_{tj}^Y	$\frac{K_{tj}^Y}{K_{tj}^H}$	Число циклов нагружения	
$t_{эл.расч}^H$	$t_{эл.расч}^Y$				$N_{пj}^H$	$N_{пj}^Y$
+20	+20	1	1	1	35 000	23 800
+137	+146	0,819	0,796	0,974	15 000	9 200
+96	+146	0,936	0,796	0,850	45 000	16 000
-60	-60	1,070	1,070	1,000	5 000	3 400
Σ					100 000	52 400

4.2.4. Проверка выполнения условий определяется по формуле

$$N_{п}^Y \leq N_0 K_f \left(K_t^Y \frac{\sigma_{-1}}{\sigma_{a.экв}^Y} \right)^m;$$

52400 < 2,6 · 10⁷ - выполняется;

$$n_{п} = \frac{\sigma_B}{n_{\sigma} \sigma_{max}^Y} = \frac{39}{2 \cdot 18} = 1,08 > 1 - \text{выполняется.}$$

4.3. Расчет эквивалентного числа циклов нагружения корпуса

4.3.1. Исходные данные для расчета: материал корпуса - алюминиевый сплав АК6,

$\sigma_B = 39 \text{ кгс/мм}^2$; $\sigma_{-1} = 14,5 \text{ кгс/мм}^2$; $N_0 = 2 \cdot 10^7$ циклов; при расчете на прочность в сечении II-II получена зависимость для расчета напряжений от действия давления P :

$$\sigma = 9,7 P \cdot 10^{-2}$$

по справочным данным коэффициенты для расчета имеют следующие значения

$$K_{\sigma} = 1,45; \quad \epsilon_{\sigma} = 0,92; \quad \beta = 0,9; \quad \psi_{\sigma} = 0,55.$$

4.3.2. Эквивалентное число циклов нагружений $N_{п}^Y$ определяется аналогично расчету числа циклов нагружения колпака по п. 4.2.

Результаты расчета нормальных напряжений в зависимости от циклов нагружения, давления рабочей жидкости приведены в табл. 6.

Таблица 6

Режимы	Время выдержки под давлением $\tau, \text{мин}$	Давление рабочей жидкости $P, \text{кгс/см}^2$	Напряжение, кгс/мм ²						$K_{долг \sigma}$
			σ_{max}	σ_{min}	σ_a	$\sigma_{ср}$	$(\sigma_a)_{пр}$	$\sigma_{a экв}$	
Нормальный	0,03	180	17,50	-	7,29	10,20	1,90	8,95	0,26
	0,03	30	-	2,91	6,81	7,78			
	0,05	150	14,60	-					
	0,05	10	-	0,97					
Ускоренный	-	200	19,40	-	9,21	10,18	2,40	9,80	0,23
		10	-	0,97					

№ изм.
№ изв.

Инв. № дубликата
Инв. № подлинника
3269

Результаты расчета K_t и N_n^y в зависимости от температуры приведены в табл. 7.

Таблица 7

Температура, °C		K_{tj}^H	K_{tj}^y	$\frac{K_{tj}^y}{K_{tj}^H}$	Число циклов нагружения	
$t_{эл. расч}^H$	$t_{эл. расч}^y$				$N_{n_j}^H$	$N_{n_j}^y$
+20	+20	1,000	1,000	1,000	35 000	24 300
+137	+146	0,819	0,796	0,974	15 000	9380
+96	+146	0,936	0,796	0,850	45 000	16 200
-60	-60	1,070	1,070	1,000	5000	3500
Σ					100 000	53 380

4.3.3. Проверка выполнения условий (31 и 33) определяется по формуле

$$N_n^y \leq N_0 K_f \left(K_t^y \frac{\sigma_{-1}}{\sigma_{a_{экв}}^y} \right)^m;$$

$$53380 \leq 2 \cdot 10^7 \cdot 1 \cdot (0,794 \frac{14,5}{9,8})^m = 1,93 \cdot 10^7 - \text{выполняется};$$

$$n_n = \frac{\sigma_b}{n_b \sigma_{max}^y} = \frac{39}{2 \cdot 19,4} = 1,005 > 1 - \text{выполняется}.$$

4.4. Расчет эквивалентного числа циклов нагружения пружины.

4.4.1. Исходные данные для расчета: материал пружины - проволока углеродистая.

По справочным материалам находим $\sigma_b = 165 \text{ кгс/мм}^2$; $\tau_{-1} = 33 \text{ кгс/мм}^2$;

$$N_0 = 10^6 \text{ циклов}; [\tau] = 56 \text{ кгс/мм}^2;$$

- из расчета на прочность величина напряжения кручения в сечении витка пружины выражается: $\tau = 359 R \cdot 10^{-2}$;

- по справочным данным для пружин, работающих на растяжение-сжатие коэффициенты имеют следующие значения:

$$K_\sigma = 1; \epsilon_\sigma = 1; \beta = 1,2; \psi_\tau = 0,2; m = 11;$$

- значение коэффициента K_t принимаем $K_t = 1$, а по формуле (21) находим

$$\left(K_\sigma \right)_D^y = \left(K_\sigma \right)_D^H = \frac{1}{1 \cdot 1,2} = 0,833.$$

4.4.2. Определение эквивалентного числа циклов нагружения N_n^y производится аналогично расчету числа циклов нагружения колпака.

№ изм.
№ изв.

3269

Ив. № дубликата
Ив. № подлинника

4.4.3. Результаты расчета касательных напряжений $\tau_{a экв}$, N_n и $K_{долг.т}$ коэффициента долговечности в зависимости от давления рабочей жидкости и усилия пружины приведены в табл. 8.

Таблица 8

Режимы	Время выдержки под давлением τ , мин	Давление рабочей жидкости P , кгс/мм ²	Усилие пружины R , кгс	Напряжение, кгс/мм ²						Число циклов N_n	$K_{долг.т}$
				τ_{max}	τ_{min}	τ_a	τ_{cp}	$(\tau_a)_{пр}$	$\tau_{a экв}$		
Нормальный	0,03	180	15,39	55,30	-	3,60	51,70	2,80	12,60	50 000	0,78
	0,03	30	13,39	-	48,10						
	0,05	150	14,99	53,80	-	3,40	50,40				
	0,05	10	13,139	-	47,00						
Ускоренный	-	200	15,66	56,00	-	4,50	51,60	3,50	13,30	53 600	0,76
	-	10	13,139	-	47,00						

4.4.4. Проверка выполнения условий (32, 34) определяется по формуле

$$N_n^y \leq N_0 \left(k_t \frac{\tau_{-1}}{\tau_{a экв}} \right)^m;$$

$$53600 < 10^6 \cdot 1 \left(\frac{33}{13,3} \right)^{11} = 2,5 \cdot 10^{10} \text{ - выполняется;}$$

$$n_n = \frac{\tau_{-1}}{\tau_{a экв}^y} = \frac{33}{13,3} = 2,5 > 1,3 \text{ - выполняется;}$$

для пружин $\tau_{max}^y \leq [\tau] \ 56 = 56 \text{ - выполняется.}$

4.4.5. Расчеты показали, что эквивалентные числа циклов нагружения рассчитываемых элементов при принятом режиме нагружений отличаются друг от друга незначительно. Поэтому окончательно принимаем наибольшее число нагружений из полученных $N_n^y = 53600$ циклов.

Принятое число циклов удовлетворяет условию п. 3.5.2 настоящего стандарта относительно износа подвижных поверхностей.

4.5. Определение времени отработки циклов нагружения при ускоренных испытаниях.

4.5.1. Время отработки циклов нагружения при ускоренных испытаниях определяется по формуле

$$\tau_{мех j}^y = \frac{N_{п j}^y \cdot \tau_{cp}}{3600},$$

где $\tau_{cp} = 6$ с - время одного цикла нагружения.

№ изм.

№ изв.

3269

Инв. № дубликата

Инв. № подлинника

Расчет времени обработки циклов нагружения при ускоренных испытаниях приведен в табл. 9.

Таблица 9

Температура, °С		Количество циклов		Время τ_N^y , ч
$t_{эл.расч}^H$	$t_{эл.расч}^y$	N_n^H	N_n^y	
+20	+20	35 000	18 760	31,3
+137	+146	15 000	8 040	53,6
+96		45 000	24 120	
-60	-60	5 000	2 680	1,5
Σ		100 000	53 600	89,4

4.5.2. В соответствии с рекомендациями п. 4.3 настоящего стандарта обработка циклов нагружения проводится при температуре +140°С.

5. УСТАНОВЛЕНИЕ РЕЖИМОВ УСКОРЕННЫХ ИСПЫТАНИЙ

5.1. Определяем время выдержки в термостате в соответствии с режимами, установленными в пп. 3 и 4. Время выдержки в термостате при $t_{жс}^y = 146^\circ\text{С}$ составит $\Delta\tau_{146}^y = \tau_{py}^y - \tau_{мех}^y = 514,4 - 53,6 = 460,8$ ч.

Время эквивалентного старения резиновых уплотнений τ_T^y в термостате при температуре +140°С будет равно

$$\tau_T^y = \tau_{146}^y \cdot e_{140-146} = 460,8 \cdot 1,59^{0,6} = 608,2 \text{ ч.}$$

5.2. Общее время ускоренных испытаний при повышенных температурах находится по формуле

$$\tau_{общ}^y = \tau_{мех}^y + \tau_T^y = 53,6 + 608,2 = 661,8 \text{ ч.}$$

5.3. Коэффициент ускорения испытаний при повышенных температурах равен

$$K_y = \frac{\tau^H}{\tau_{общ}^y} = \frac{3000}{661,8} = 4,53.$$

5.4. Режимы ускоренных испытаний регулятора расхода приведены в табл. 10.

№ изм.
№ изв.

3269

Изм. № дубликата
Изм. № подлинника

Таблица 10

Температура окружающей среды и рабочей жидкости $t_{жс}^y = t_{o.c}^y, ^\circ C$	Число циклов нагрузений $N_{п}^y$	Время отработки циклов $\tau_{п}^y, ч$	Время выдержки в термостате $\tau_{т}^y, ч$
+20	18760	31,3	-
+140	32160	53,6	608,2
-60	2680	4,5	-

№ изм.

№ изв.

Инв. № дубликата

Инв. № подлинника

3269